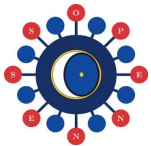


# Rule-based model of the risk of SARS-CoV-2 infection spread in indoor environments.

Eduardo De Los Santos  
[eduardo.santos@iasi.cnr.it](mailto:eduardo.santos@iasi.cnr.it)





[https://www.youtube.com/live/l2eEQJvVR\\_M?feature=share](https://www.youtube.com/live/l2eEQJvVR_M?feature=share)

# Part of OPENNESS dissemination talks.



Loads of people and a bit of COVID  
infection reduction in critical infrastructures

Federico Oliva, Corrado Possieri

IASI-CNR, Tor Vergata University of Rome

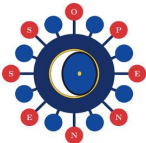
November 10th, 2022



## Project Overview

Guglielmo De Angelis  
guglielmo.deangelis@iasi.cnr.it

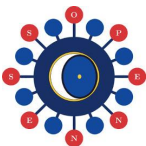




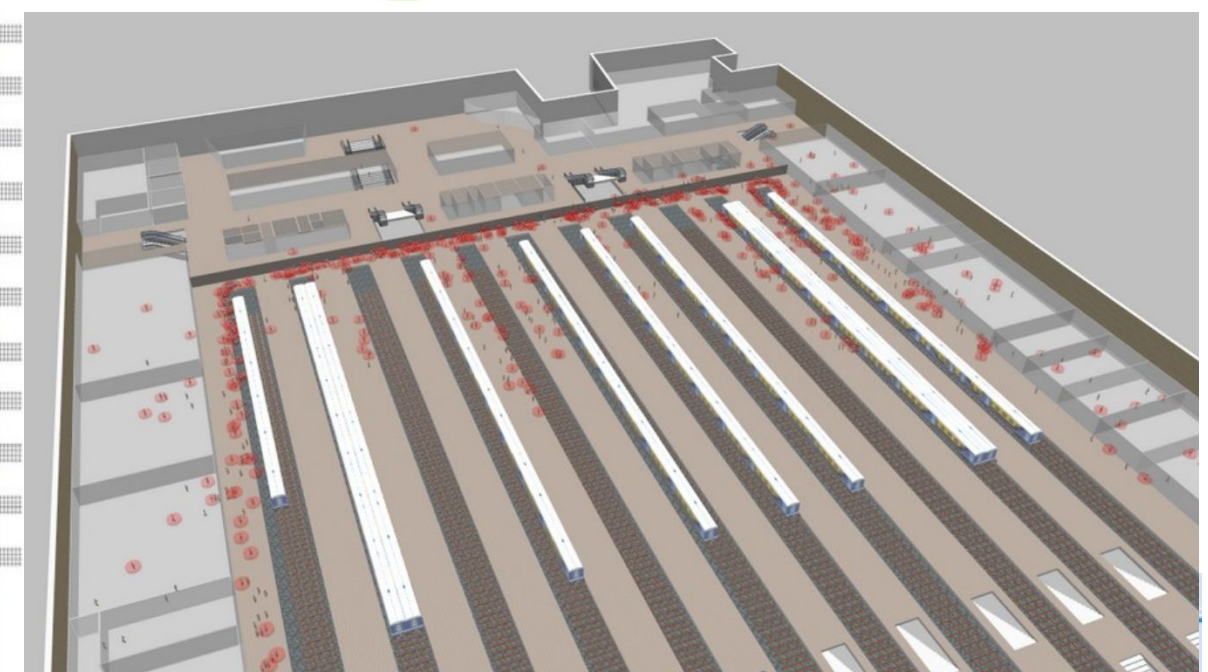
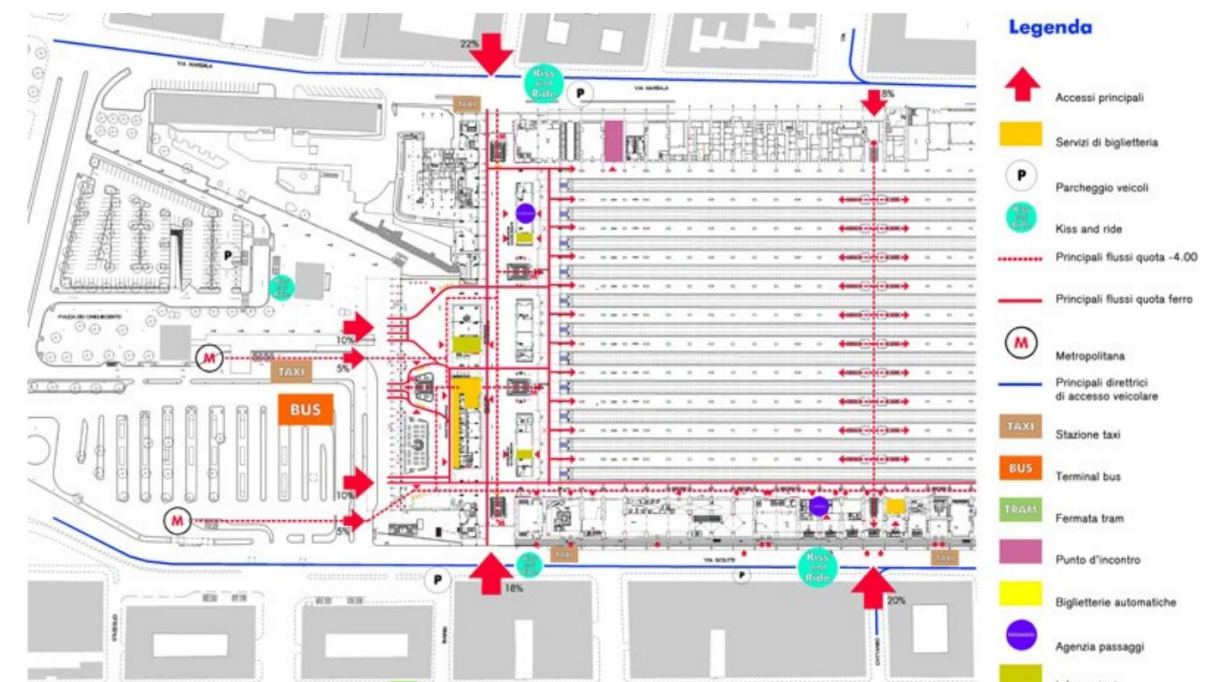
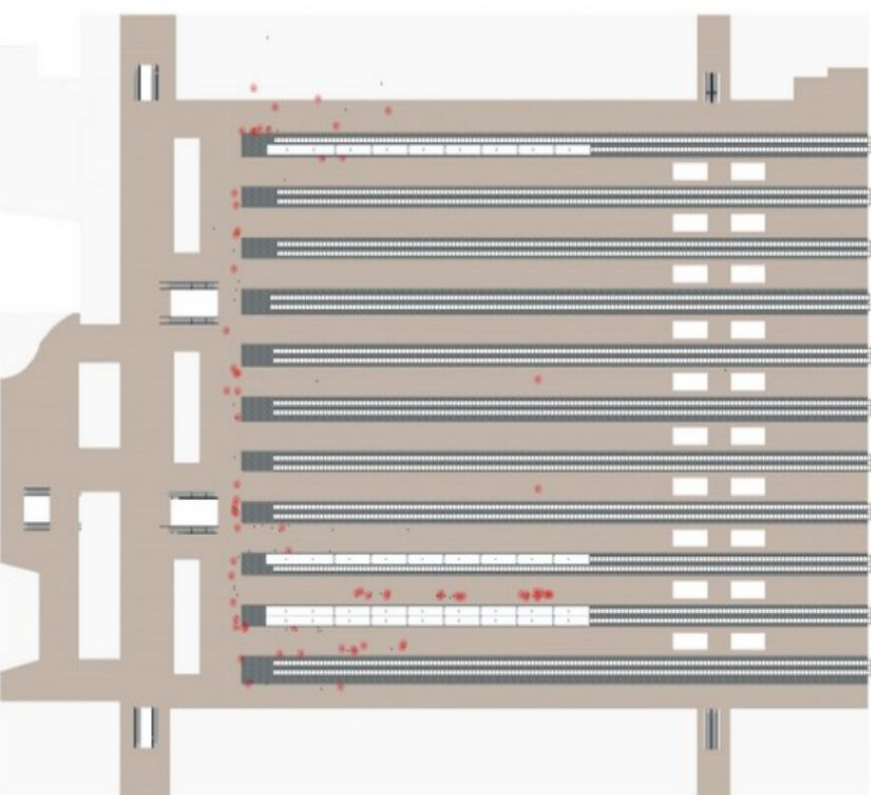
# Outline

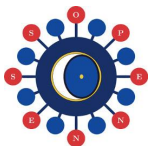
- Virtual Environment
- Dataset
- Rule-based ML Methods
  - Skope-Rules
  - Logic Learning Machine (LLM)
- Preliminary results
  - RuleX
  - Rule-based model
  - Performance of the rule-based model
    - Confusion Matrix
    - Feature Ranking
- Challenges to face



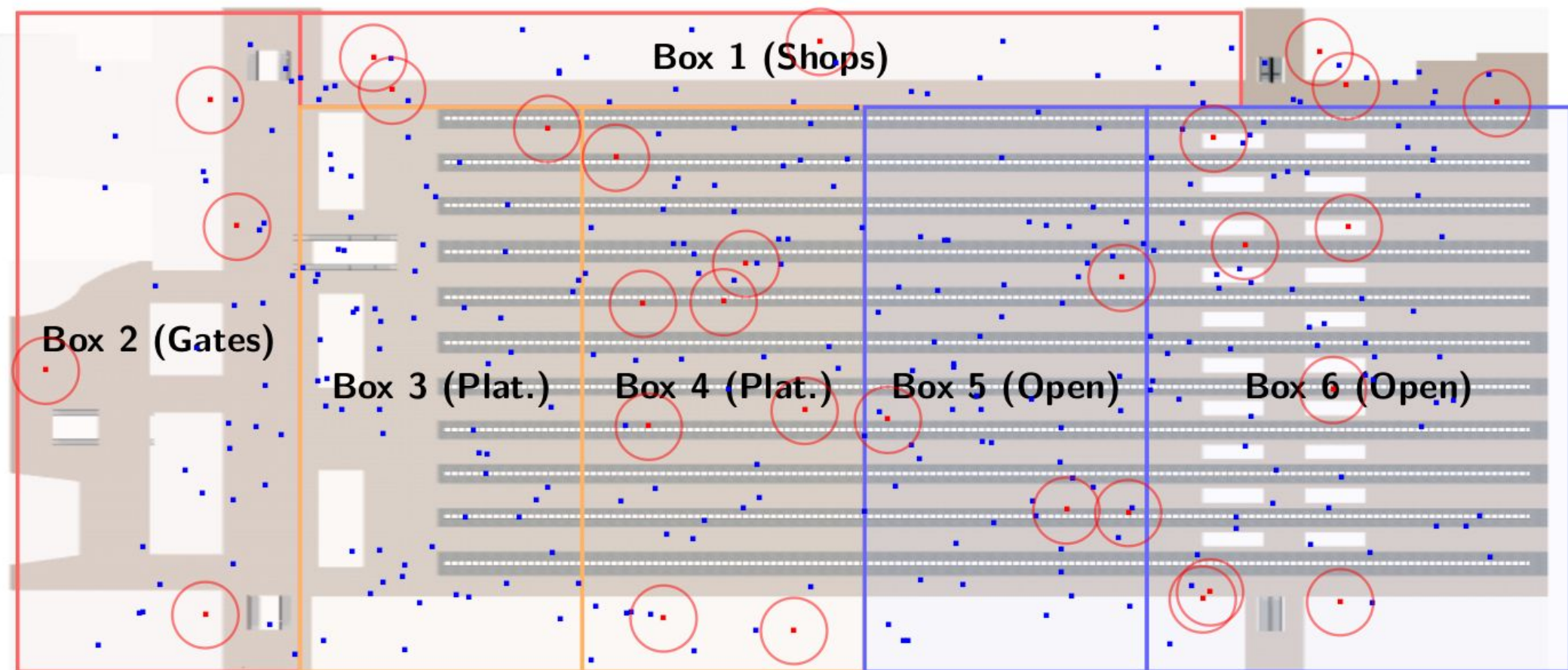


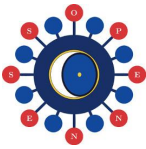
# Virtual Environment: Roma Termini





# Virtual Environment: Contagion model

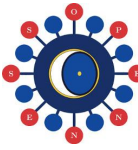




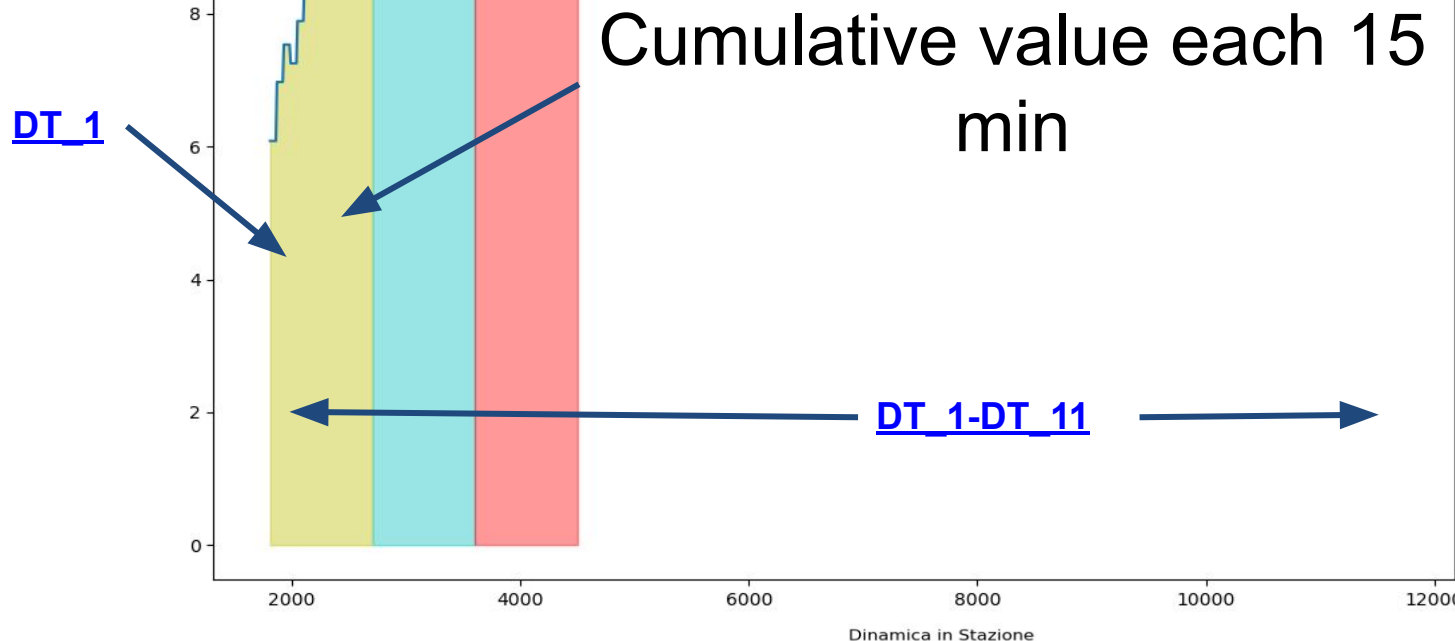
# Dataset: input variables

variabile	valore	variabile	valore	variabile	valore
Arrivi 1	30	Varianza comune per tutti i valori arrivi	5	DurataSostaAV1	5,5
Arrivi 2	30	Varianza comune per tutti i valori partenze	5	DurataSostaAV2	5,5
Arrivi 3	30	Positivi in partenza	50	DurataSostaAV3	5,5
Arrivi 4	30	Positivi in arrivo	50	DurataSostaAV4	5,5
Arrivi 5	30	FFP2	60	DurataSostaAV5	5,5
Arrivi 6	30	Chirurgica	20	DurataSostaAV6	5,5
Arrivi 7	30	FrequenzaAV1	50	DurataSostaAV7	5,5
Arrivi 8	30	FrequenzaAV2	50	DurataSostaAV8	5,5
Arrivi 9	30	FrequenzaAV3	50	DurataSostaAV9	5,5
Arrivi 10	30	FrequenzaAV4	50	DurataSostaAV10	5,5
Arrivi 11	30	FrequenzaAV5	50	DurataSostaAV11	5,5
Arrivi 12	30	FrequenzaAV6	50	DurataSostaAV12	5,5
Partenza1	50	FrequenzaAV7	50	DurataSostaLeonardo1	5,5
Partenza2	50	FrequenzaAV8	50	DurataSostaLeonardo2	5,5
Partenza3	50	FrequenzaAV9	50	DurataSostaLeonardo3	5,5
Partenza4	50	FrequenzaAV10	50	DurataSostaLeonardo4	5,5
Partenza5	50	FrequenzaAV11	50	DurataSostaLeonardo5	5,5
Partenza6	50	FrequenzaAV12	50	DurataSostaLeonardo6	5,5
Partenza7	50	FrequenzaLeonardo1	50	DurataSostaLeonardo7	5,5
Partenza8	50	FrequenzaLeonardo2	50	DurataSostaLeonardo8	5,5
Partenza9	50	FrequenzaLeonardo3	50	DurataSostaLeonardo9	5,5
Partenza10	50	FrequenzaLeonardo4	50	DurataSostaLeonardo10	5,5
Partenza11	50	FrequenzaLeonardo5	50	DurataSostaLeonardo11	5,5
Partenza12	50	FrequenzaLeonardo6	50	DurataSostaLeonardo12	5,5
		FrequenzaLeonardo7	50	AER_VentNaturale	0,5
		FrequenzaLeonardo8	50	AER_FinestreAperte	0,5
		FrequenzaLeonardo9	50	Pp	0,5
		FrequenzaLeonardo10	50	Distanza interpersonale minima	1,5
		FrequenzaLeonardo11	50	VarFrequenzaAV1	5
		FrequenzaLeonardo12	50	VarFrequenzaLeonardo1	5

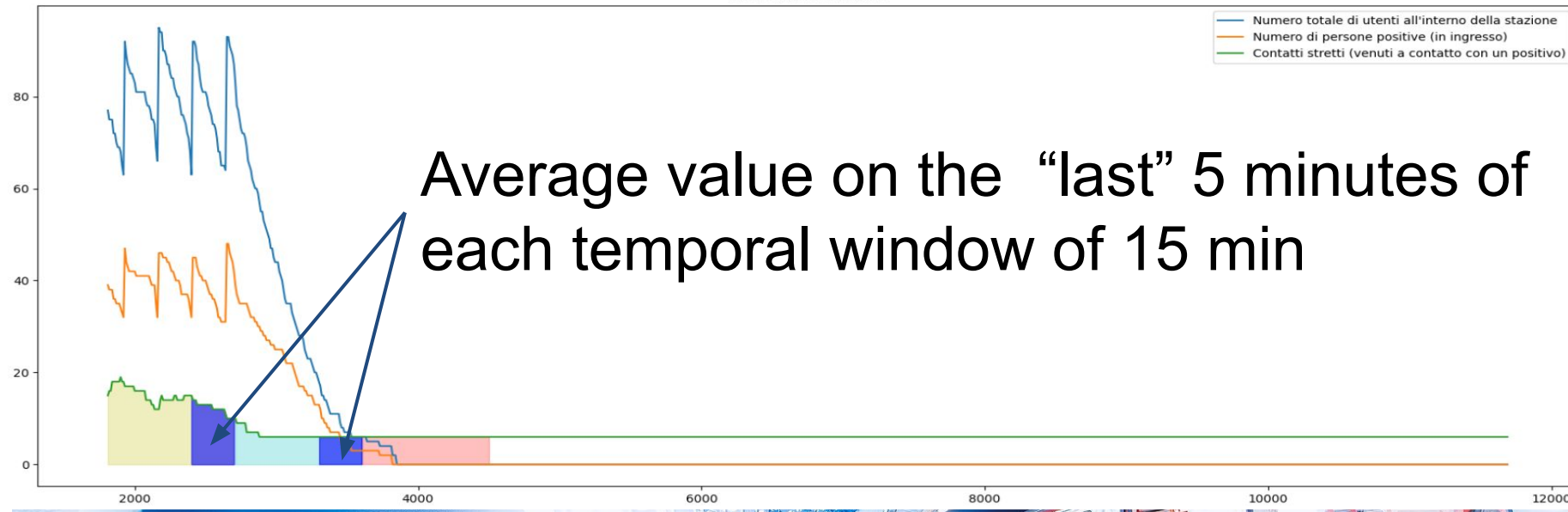


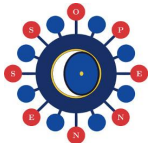


Rischio medio (attuale)

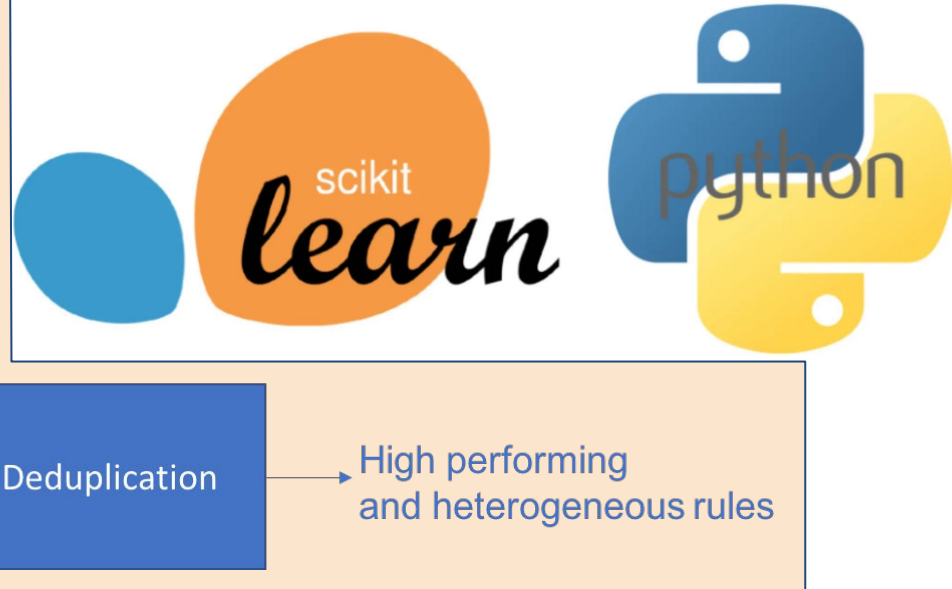
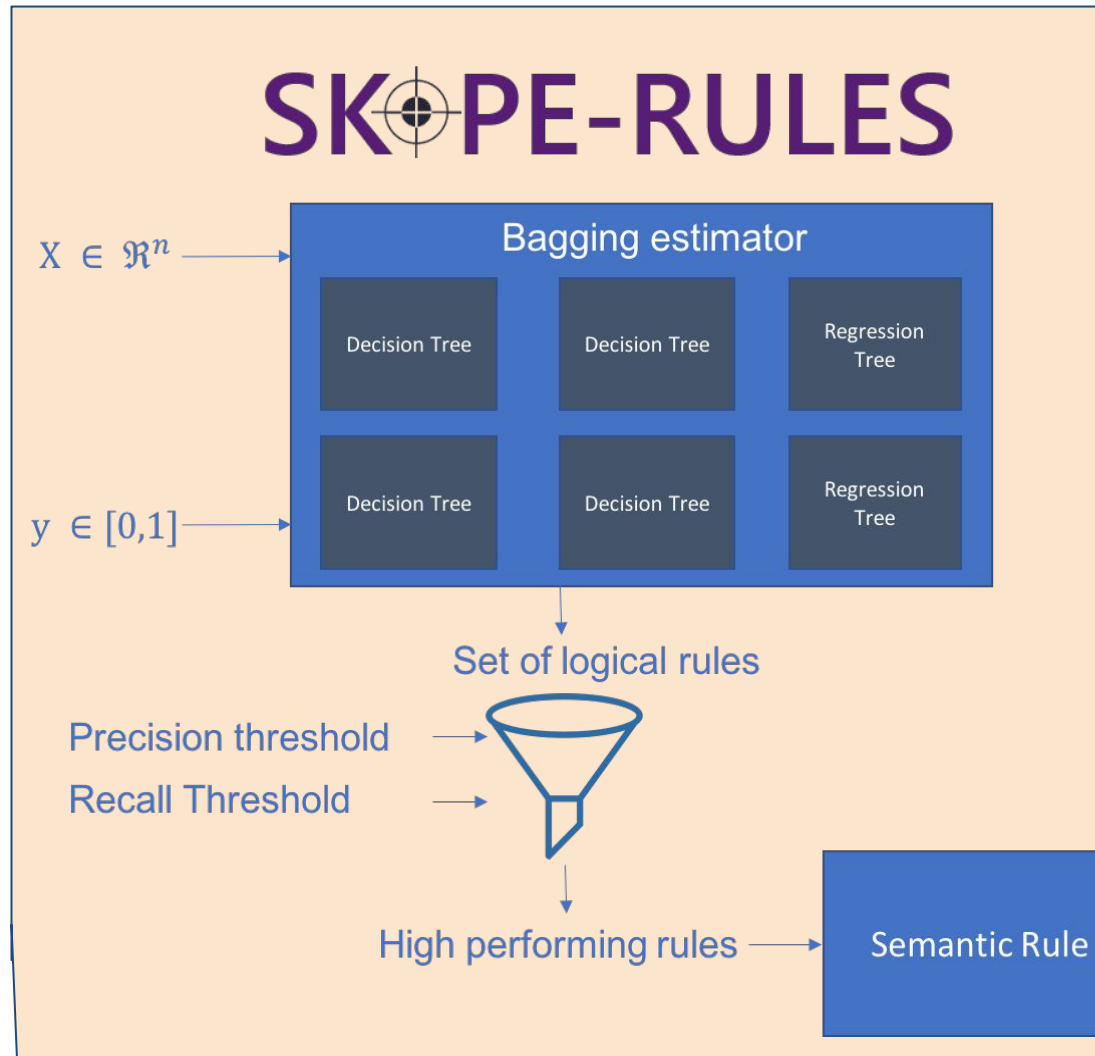


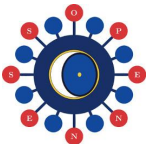
# Dataset: system state variables





# Rule-based ML Methods



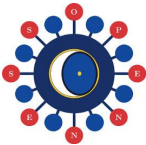


**Skope-rules is a global explainable supervised method; is a trade off between the interpretability of a Decision Tree and the modelization power of a Random Forest.**



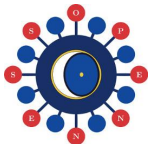
- **Bagging estimator training:** rule generation is done from a set of decision trees and/or regressors. Each path or sub-path of a branch of a tree is transformed into a decision rule. Trees are trained to predict the output class of interest. This ensures that the splits are made in such a way as to guarantee that they are meant for the prediction task.





- **Performance filtering:** from this set of rules generated, an initial screening is carried out based on precision (we want to be sure of our precision) and recall (we want to capture as many positives as possible) thresholds.
- **Semantic deduplication:** the last filter applied for the choice of rules is based on a criterion of similarity between terms, whereby term is meant the feature associated with the comparison operator with which it appears in the rule. The measure of similarity of two rules is determined by how many terms they have in common.





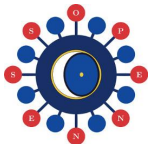
# Logic Learning Machine (LLM)

RuleX

Like Skope-Rules, LLM is an interpretable rule-based model consisting of a series of **if <premise> then <consequence>** rules; the difference between the two models lies in the way these rules are generated, selected and finally filtered.

NARTENI, Sara, et al. **From explainable to reliable artificial intelligence**. En *Machine Learning and Knowledge Extraction: 5th IFIP TC 5, TC 12, WG 8.4, WG 8.9, WG 12.9 International Cross-Domain Conference, CD-MAKE 2021, Virtual Event, August 17–20, 2021, Proceedings* 5. Springer International Publishing, 2021. p. 255-273.

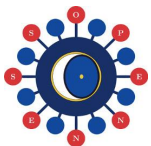




# Three step design of LLM

1. **Discretization & Latticization:** nominal / categorical and (discretized) ordered variables are coded into binary strings by adopting a suitable mapping that preserves ordering and distances.
2. **Logic Synthesis:** starting from the binarized version of the training set, which can be viewed as a portion of a truth table, Shadow Clustering algorithm reconstruct the AND-OR expression of a positive Boolean function which approximates the behavior of the training set.
3. **Rule Generation:** transform every logical product of the AND-OR expression into an intelligible rule.





# Rule quality and class prediction of LLM

Covering and error are both useful to determine the **classification scores** that are used to assign a class to input data.

$$C(\mathbf{r}_k) = \frac{TP(\mathbf{r}_k)}{TP(\mathbf{r}_k) + FN(\mathbf{r}_k)}$$

The greater is the covering, the higher is the generality of the corresponding rule.

$$E(\mathbf{r}_k) = \frac{FP(\mathbf{r}_k)}{TN(\mathbf{r}_k) + FP(\mathbf{r}_k)}$$

The error is a measure of how many data are wrongly covered by the rule.

$$w_{\hat{y}} = 1 - \prod_{\mathbf{r}_k \in H_{\hat{y}}} (1 - C(\mathbf{r}_k))(1 - E(\mathbf{r}_k))$$

Every input is assigned to the class with the highest **classification score**.

		ACTUAL VALUES	
		Positive	Negative
PREDICTED VALUES	Positive	TP	FP
	Negative	FN	TN

The predicted value is positive and its positive

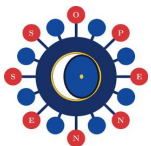
Type I error : The predicted value is positive but it False

Type II error : The predicted value is negative but its positive

The predicted value is Negative and its Negative

Set of rules predicting the class  $\hat{y}$  and satisfied by the input sample  $x_j$





# Rule quality and class prediction of LLM

Being a rule-based method, it is possible to inspect LLM results through **feature** and **value ranking**. Again, covering and error provide the basis for their definitions.

**Feature Ranking:** helps to identify the feature with greater impact on classification, according to a relevance measure:

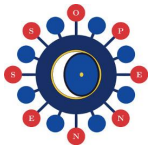
$$R(c_{l_k}) = (E(\mathbf{r}'_k) - E(\mathbf{r}_k))C(\mathbf{r}_k)$$

**Value Ranking:** helps to identify the most influent intervals of values for a given feature with respect to each class:

$$R_{\hat{y}}(\nu_j) = 1 - \prod_k (1 - R(c_{l_k}))$$

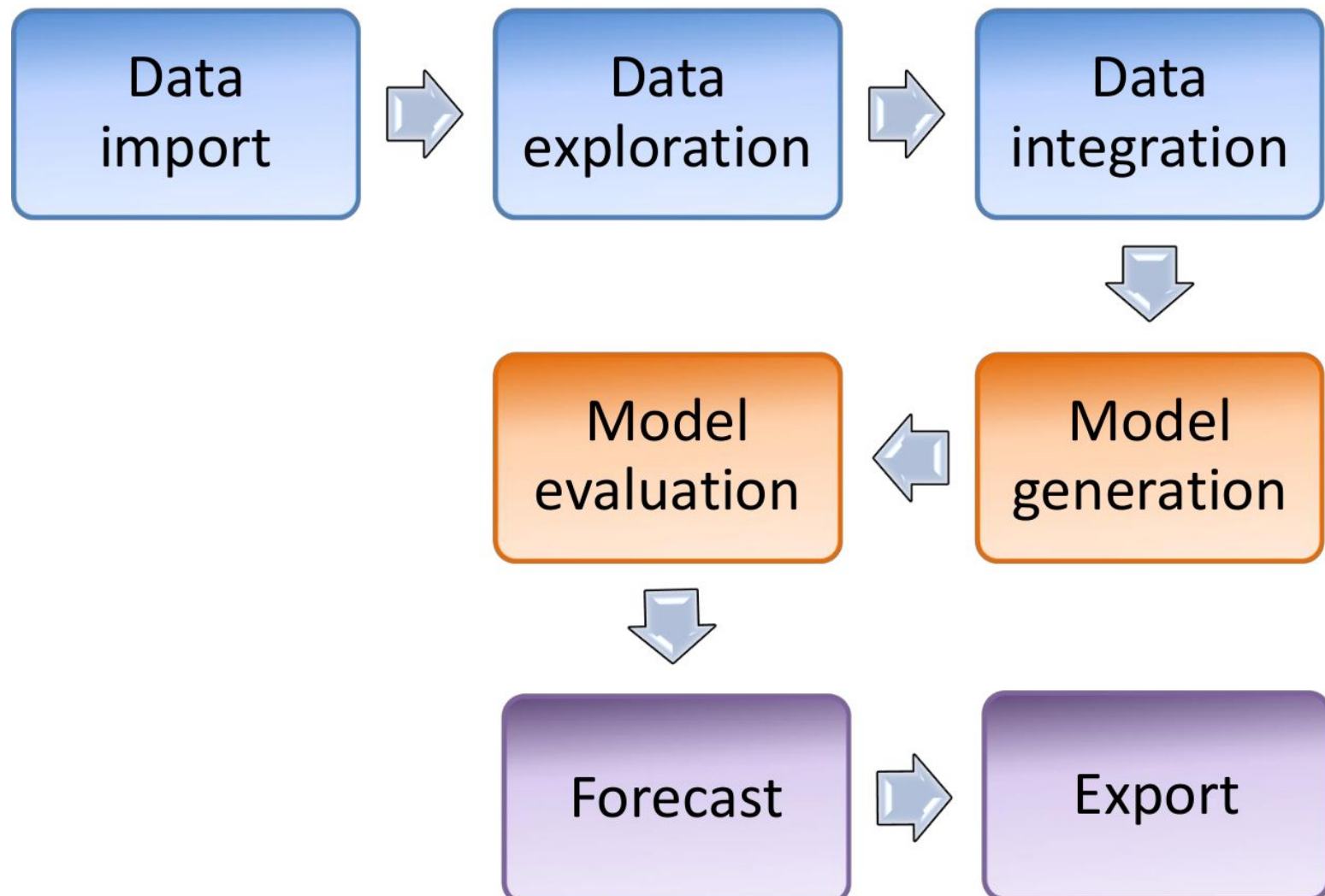
The product is computed on the rules that include a condition verified when the feature value is in the examined interval.

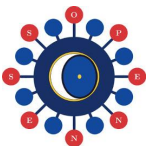




# Workflow from data to results

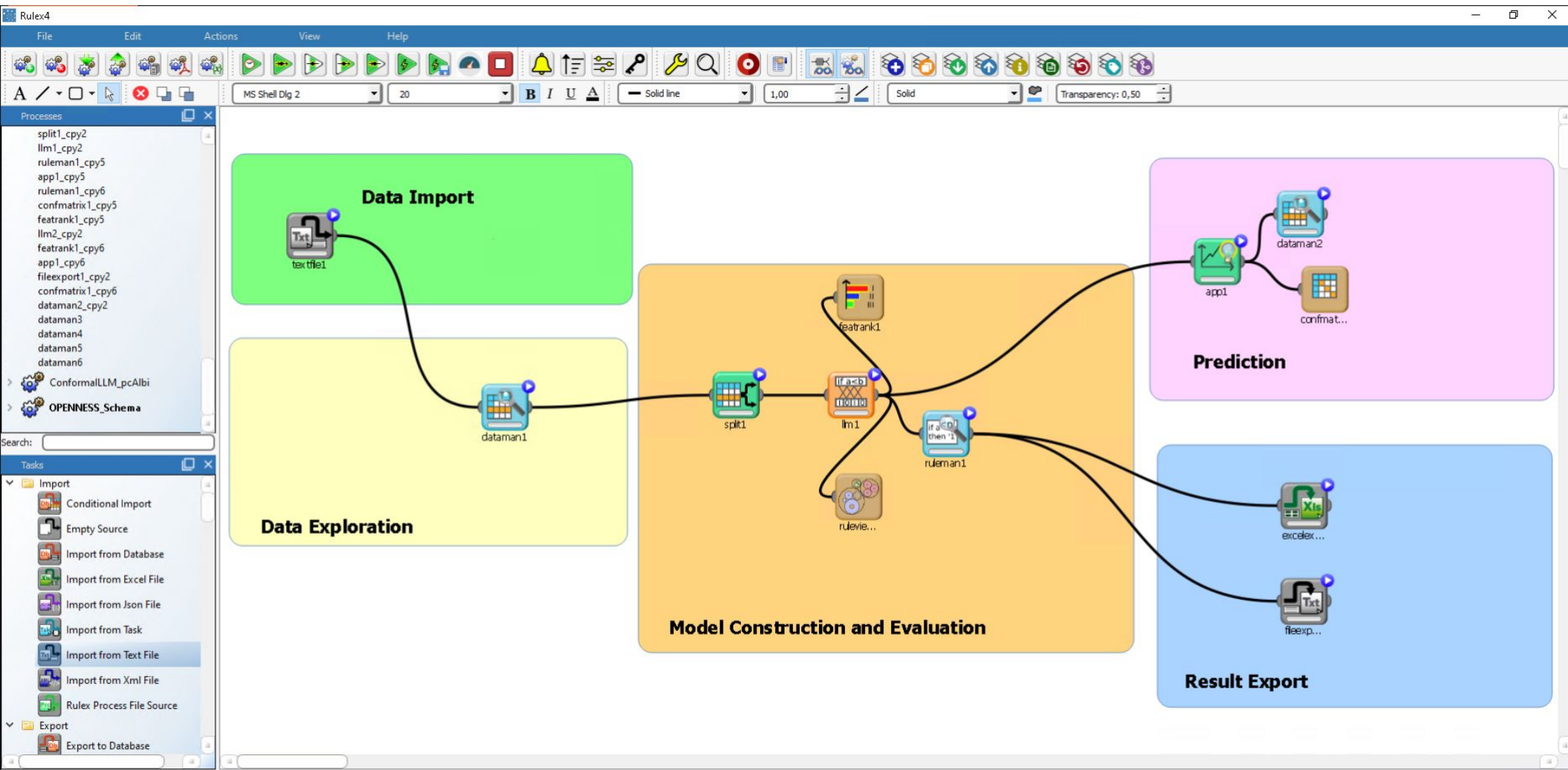
# RuleX





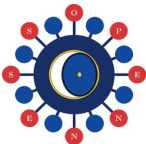
# Workflow from data to results

# RuleX



Done





# Configuration of I/O features

# RuleX

## DT 1

<input type="checkbox"/> Aggregate data before processing	<input checked="" type="checkbox"/> Perform a coarse-grained training (faster)	<input checked="" type="checkbox"/> Ignore attributes not present in rules	<input type="checkbox"/> Ignore outliers while building rules	<input type="checkbox"/> Allow rules with no conditions	<input checked="" type="checkbox"/> Minimize number of conditions	<input type="checkbox"/> Prevent interval conditions for ordered attributes	<input type="checkbox"/> Hold all the generated rules	<input checked="" type="checkbox"/> Consider relative error instead of absolute	<input type="checkbox"/> Missing values verify any rule condition
Maximum number of trials in bottom-up mode:	5000	Number of rules for each class (0 means 'automatic')	0	Overlap between rules (%):	0,0000	Maximum error allowed for each rule (%):	5,0000	Maximum number of conditions for a rule:	-1
<input type="checkbox"/> Allow to use complements in conditions on nominal						Maximum nominal values:	0		
<input checked="" type="checkbox"/> Change roles for input and output attributes						Minimum interval for a condition on ordered attribute (%):	0,0	<input type="checkbox"/> Differentiate multiple rules by attributes	
<input checked="" type="checkbox"/> Initialize random generator with seed:	1					<input type="checkbox"/> Build rules for <span style="background-color: #e0e0e0; padding: 2px;">all but</span> the <span style="background-color: #e0e0e0; padding: 2px;">first</span> output value		<input type="checkbox"/> Prevent rules in input from being included in the LLM model	
<input type="checkbox"/> Append results						Minimum rule distance for additional rules:	0,000		

Input attributes:

■ Scenario rispetto distanza (alto, medio, basso)  
■ Distanza interpersonale minima  
■ Tasso Ricambio Aria Interni  
■ Tasso Ricambio Aria Esterne  
■ Percentuale positivi in partenza  
■ Percentuale positivi in arrivo  
■ Percentuale pax con FFP2  
■ Percentuale pax con chirurgica  
■ Arrivi I  
■ Partenze I  
■ Frequenza arrivo treni AV 1  
■ Frequenza arrivo treni LeonardoExpress 1  
■ Durata Sosta AV 1  
■ Durata Sosta Leonardo 1  
■ Pass\_Salita\_Bin\_1\_2550\_sec  
■ Pass\_Discesa\_Bin\_1\_2550\_sec  
■ Pass\_Lungo\_Bin\_1\_2550\_sec  
■ Pass\_Salita\_Bin\_10\_2550\_sec  
■ Pass\_Discesa\_Bin\_10\_2550\_sec

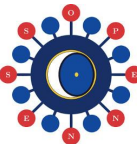
Output attributes:

■ N J\_DT\_1\_binario

Key attributes:

Manual list   Filtered list   Manual list   Filtered list   Manual list   Filtered list



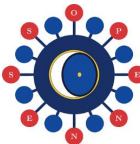


# Rule-based model

## DT\_1

```
1 #include <string.h>
2 const char *ApplyRules(int Scenario_rispetto_distanza (alto, medio, basso), float Distanza_interpersonale_minima, float Percentuale_positivi_in_partenza,
3 float Percentuale_positivi_in_arrivo, float Percentuale_pax_con_FFP2, float Percentuale_pax_con_chirurgica, int Arrivi_I, int Partenze_1, int Frequenza
arrivo_treni_AV_1, int Frequenza_arrivo_treni_LeonardoExpress_1, float Pass_Salita_Bin_1_2550_sec, float Pass_Discesa_Bin_1_2550_sec, float
Pass_Lungo_Bin_1_2550_sec, float Pass_Salita_Bin_10_2550_sec, float Pass_Discesa_Bin_10_2550_sec, float Pass_Lungo_Bin_10and11_2550_sec, float
Pass_Stazione_mean_2550_sec, float Positivi_Stazione_mean_2550_sec, float Contatti_Stazione_mean_2550_sec, float Mask_Chirurgica_Stazione_mean_2550_sec,
float Mask_FFP2_Stazione_mean_2550_sec) {
3   if ((Frequenza_arrivo_treni_AV_1 > 32) && (Pass_Stazione_mean_2550_sec <= 79.150000) && (Contatti_Stazione_mean_2550_sec <= 0.350000)) return "Low";
4   if ((Frequenza_arrivo_treni_AV_1 > 36) && (Pass_Salita_Bin_1_2550_sec > 0.783333) && (Pass_Discesa_Bin_10_2550_sec > 2.450000) &&
(Positivi_Stazione_mean_2550_sec <= 17.150000) && (Contatti_Stazione_mean_2550_sec <= 0.950000)) return "Low";
5   if ((Frequenza_arrivo_treni_AV_1 > 37) && (Contatti_Stazione_mean_2550_sec <= 0.050000)) return "Low";
6   if ((Frequenza_arrivo_treni_AV_1 > 42) && (Contatti_Stazione_mean_2550_sec > 2.950000)) return "High";
7   if ((Percentuale_positivi_in_partenza <= 0.285000) && (Percentuale_positivi_in_arrivo > 0.115000) && (Percentuale_pax_con_chirurgica > 0.305000 &&
Percentuale_pax_con_chirurgica <= 0.385000) && (Arrivi_I > 40) && (Frequenza_arrivo_treni_LeonardoExpress_1 <= 67) && (Pass_Salita_Bin_1_2550_sec >
15.750000) && (Pass_Discesa_Bin_1_2550_sec > 16.016667 && Pass_Discesa_Bin_1_2550_sec <= 25.416667) && (Pass_Salita_Bin_10_2550_sec <= 19.416667) &&
(Contatti_Stazione_mean_2550_sec > 0.950000 && Contatti_Stazione_mean_2550_sec <= 1.750000)) return "High";
8   if ((Percentuale_pax_con_FFP2 > 0.205000) && (Frequenza_arrivo_treni_AV_1 > 50) && (Frequenza_arrivo_treni_LeonardoExpress_1 > 30) &&
(Pass_Salita_Bin_1_2550_sec <= 26.416667) && (Pass_Salita_Bin_10_2550_sec <= 23.983333) && (Contatti_Stazione_mean_2550_sec > 1.950000 &&
Contatti_Stazione_mean_2550_sec <= 2.950000) && (Mask_Chirurgica_Stazione_mean_2550_sec > 6.050000 && Mask_Chirurgica_Stazione_mean_2550_sec <= 20.850000))
return "High";
9   if ((Percentuale_positivi_in_partenza <= 0.285000) && (Percentuale_pax_con_chirurgica <= 0.385000) && (Partenze_1 <= 56) && (Pass_Discesa_Bin_1_2550_sec >
8.983333 && Pass_Discesa_Bin_1_2550_sec <= 16.983333) && (Pass_Salita_Bin_10_2550_sec > 8.983333) && (Pass_Stazione_mean_2550_sec <= 33.350000) &&
(Positivi_Stazione_mean_2550_sec > 1.550000) && (Contatti_Stazione_mean_2550_sec > 0.950000 && Contatti_Stazione_mean_2550_sec <= 1.050000)) return "High";
10  if ((Pass_Salita_Bin_1_2550_sec > 9.016667) && (Positivi_Stazione_mean_2550_sec <= 3.050000)) return "Low";
11  if ((Percentuale_positivi_in_partenza <= 0.285000) && (Frequenza_arrivo_treni_LeonardoExpress_1 <= 67) && (Pass_Salita_Bin_10_2550_sec > 20.016667 &&
Pass_Salita_Bin_10_2550_sec <= 24.816667) && (Pass_Discesa_Bin_10_2550_sec <= 27.183333) && (Pass_Stazione_mean_2550_sec <= 49.750000) &&
(Contatti_Stazione_mean_2550_sec > 0.950000 && Contatti_Stazione_mean_2550_sec <= 1.750000)) return "High";
12  if ((Percentuale_positivi_in_partenza <= 0.285000) && (Percentuale_pax_con_chirurgica > 0.305000 && Percentuale_pax_con_chirurgica <= 0.385000) &&
(Partenze_1 <= 58) && (Pass_Salita_Bin_1_2550_sec > 3.916667 && Pass_Salita_Bin_1_2550_sec <= 17.583333) && (Pass_Salita_Bin_10_2550_sec > 2.850000 &&
Pass_Salita_Bin_10_2550_sec <= 20.116667) && (Pass_Stazione_mean_2550_sec > 33.050000 && Pass_Stazione_mean_2550_sec <= 77.050000) &&
(Contatti_Stazione_mean_2550_sec > 0.850000 && Contatti_Stazione_mean_2550_sec <= 1.950000)) return "High";
13  if ((Partenze_1 <= 41) && (Mask_Chirurgica_Stazione_mean_2550_sec > 8.850000)) return "Low";
14  if ((Percentuale_positivi_in_arrivo > 0.105000) && (Frequenza_arrivo_treni_AV_1 <= 66) && (Frequenza_arrivo_treni_LeonardoExpress_1 > 30) &&
(Pass_Salita_Bin_10_2550_sec <= 28.883333) && (Pass_Discesa_Bin_10_2550_sec > 22.650000) && (Positivi_Stazione_mean_2550_sec <= 16.250000) &&
(Contatti_Stazione_mean_2550_sec <= 2.950000)) return "Low";
15  if ((Scenario_rispetto_distanza (alto, medio, basso) > 1) && (Percentuale_positivi_in_partenza <= 0.275000) && (Percentuale_positivi_in_arrivo <= 0.285000)
&& (Arrivi_I <= 42) && (Frequenza_arrivo_treni_LeonardoExpress_1 > 33) && (Pass_Discesa_Bin_1_2550_sec <= 22.050000) && (Contatti_Stazione_mean_2550_sec <=
```



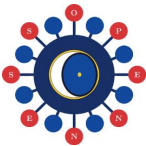


# Rule-based model

## DT\_1

A	B	C	D	E	F	G	H	I	J	
1	Id rule	# of condition	Output attribute	Output value	Total right	Covering %	Total wrong	Error %	Condition 1	Condition 2
2	1	3	J DT_1_binario	Low	6931	68,171981	1068	4,307116	'Frequenza arrivo treni AV 1' > 32	Pass_Stazione_mean_2550_sec <= 79.150000
3	2	5	J DT_1_binario	Low	6931	64,088876	1068	4,868914	'Frequenza arrivo treni AV 1' > 36	Pass_Salita_Bin_1_2550_sec > 0.783333
4	3	2	J DT_1_binario	Low	6931	63,627182	1068	1,029963	'Frequenza arrivo treni AV 1' > 37	Contatti_Stazione_mean_2550_sec <= 0.050000
5	4	2	J DT_1_binario	High	1068	11,516854	6931	0,721397	'Frequenza arrivo treni AV 1' > 42	Contatti_Stazione_mean_2550_sec > 2.950000
6	5	9	J DT_1_binario	High	1068	11,235955	6931	0,76468	'Percentuale positivi in partenza' <= 0.285000	'Percentuale positivi in arrivo' > 0.115000
7	6	7	J DT_1_binario	High	1068	10,861423	6931	0,735825	'Percentuale pax con FFP2' > 0.205000	'Frequenza arrivo treni AV 1' > 50
8	7	8	J DT_1_binario	High	1068	10,393258	6931	0,76468	'Percentuale positivi in partenza' <= 0.285000	'Percentuale pax con chirurgica' <= 0.385000
9	8	2	J DT_1_binario	Low	6931	9,868706	1068	3,932584	Pass_Salita_Bin_1_2550_sec > 9.016667	Positivi_Stazione_mean_2550_sec <= 3.050000
10	9	6	J DT_1_binario	High	1068	7,865169	6931	0,76468	'Percentuale positivi in partenza' <= 0.285000	'Frequenza arrivo treni LeonardoExpress 1' <= 67
11	10	7	J DT_1_binario	High	1068	7,022472	6931	0,76468	'Percentuale positivi in partenza' <= 0.285000	0.305000 < 'Percentuale pax con chirurgica' <= 0.385000
12	11	2	J DT_1_binario	Low	6931	6,997547	1068	4,775281	'Partenze 1' <= 41	Mask_Chirurgica_Stazione_mean_2550_sec > 8.850000
13	12	7	J DT_1_binario	Low	6931	6,809984	1068	4,962547	'Percentuale positivi in arrivo' > 0.105000	'Frequenza arrivo treni AV 1' <= 66
14	13	7	J DT_1_binario	Low	6931	6,521425	1068	4,681648	'Scenario rispetto distanza (alto, medio, basso)' > 1	'Percentuale positivi in partenza' <= 0.275000
15	14	11	J DT_1_binario	High	1068	6,367041	6931	0,76468	'Percentuale positivi in partenza' <= 0.275000	'Percentuale positivi in arrivo' <= 0.285000
16	15	3	J DT_1_binario	Low	6931	6,319434	1068	4,962547	'Percentuale pax con FFP2' <= 0.205000	Pass_Discesa_Bin_1_2550_sec > 5.016667
17	16	2	J DT_1_binario	Low	6931	6,131871	1068	3,277154	'Frequenza arrivo treni AV 1' <= 32	Contatti_Stazione_mean_2550_sec <= 0.850000
18	17	2	J DT_1_binario	Low	6931	5,944308	1068	4,026217	'Partenze 1' > 44	Positivi_Stazione_mean_2550_sec > 17.250000
19	18	4	J DT_1_binario	Low	6931	5,670177	1068	4,962547	'Percentuale positivi in partenza' <= 0.255000	'Frequenza arrivo treni AV 1' > 40
20	19	10	J DT_1_binario	Low	6931	5,58361	1068	4,962547	'Percentuale positivi in partenza' <= 0.265000	0.205000 < 'Percentuale pax con FFP2' <= 0.225000
21	20	8	J DT_1_binario	Low	6931	5,439331	1068	4,868914	'Percentuale positivi in partenza' <= 0.285000	'Percentuale positivi in arrivo' > 0.255000
22	21	6	J DT_1_binario	Low	6931	5,352763	1068	4,400749	'Percentuale pax con FFP2' > 0.225000	'Arrivi I' > 43
23	22	11	J DT_1_binario	High	1068	5,05618	6931	0,76468	'Partenze 1' <= 58	'Frequenza arrivo treni AV 1' <= 50
24	23	6	J DT_1_binario	Low	6931	5,006493	1068	4,681648	'Percentuale pax con FFP2' > 0.285000	Pass_Salita_Bin_1_2550_sec <= 22.983333
25	24	2	J DT_1_binario	High	1068	4,962547	6931	0,735825	'Percentuale positivi in partenza' > 0.285000	Contatti_Stazione_mean_2550_sec > 0.950000
26	25	8	J DT_1_binario	Low	6931	4,891069	1068	4,962547	'Percentuale positivi in partenza' > 0.265000	0.205000 < 'Percentuale pax con FFP2' <= 0.285000
27	26	5	J DT_1_binario	Low	6931	4,804502	1068	4,307116	0.165000 < 'Percentuale positivi in arrivo' <= 0.255000	'Arrivi I' > 47
28	27	5	J DT_1_binario	Low	6931	4,775646	1068	4,962547	'Percentuale pax con chirurgica' > 0.315000	'Frequenza arrivo treni AV 1' > 65
29	28	9	J DT_1_binario	High	1068	4,681648	6931	0,76468	'Percentuale positivi in partenza' <= 0.285000	'Percentuale pax con chirurgica' <= 0.305000
30	29	2	J DT_1_binario	Low	6931	4,588083	1068	4,962547	Pass_Salita_Bin_10_2550_sec > 22.950000	Pass_Salita_Bin_10_2550_sec <= 22.883333



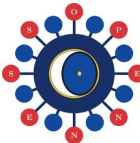


# Rule-based model

## DT\_1

	J	K	L	M
1	Condition 2	Condition 3	Condition 4	Condition 5
2	Pass_Stazione_mean_2550_sec <= 79.150000	Contatti_Stazione_mean_2550_sec <= 0.350000		
3	Pass_Salita_Bin_1_2550_sec > 0.783333	Pass_Discesa_Bin_10_2550_sec > 2.450000	Positivi_Stazione_mean_2550_sec <= 17.150000	Contatti_Stazione_mean_2550_sec <= 0.950000
4	Contatti_Stazione_mean_2550_sec <= 0.050000			
5	Contatti_Stazione_mean_2550_sec > 2.950000			
6	'Percentuale positivi in arrivo' > 0.115000	0.305000 < 'Percentuale pax con chirurgica' <= 0.385000	'Arrivi I' > 40	'Frequenza arrivo treni LeonardoExpress 1' <= 67
7	'Frequenza arrivo treni AV 1' > 50	'Frequenza arrivo treni LeonardoExpress 1' > 30	Pass_Salita_Bin_1_2550_sec <= 26.416667	Pass_Salita_Bin_10_2550_sec <= 23.983333
8	'Percentuale pax con chirurgica' <= 0.385000	'Partenze 1' <= 56	8.983333 < Pass_Discesa_Bin_1_2550_sec <= 16.983333	Pass_Salita_Bin_10_2550_sec > 8.983333
9	Positivi_Stazione_mean_2550_sec <= 3.050000			
10	'Frequenza arrivo treni LeonardoExpress 1' <= 67	20.016667 < Pass_Salita_Bin_10_2550_sec <= 24.816667	Pass_Discesa_Bin_10_2550_sec <= 27.183333	Pass_Stazione_mean_2550_sec <= 49.750000
11	0.305000 < 'Percentuale pax con chirurgica' <= 0.385000	'Partenze 1' <= 58	3.916667 < Pass_Salita_Bin_1_2550_sec <= 17.583333	2.850000 < Pass_Salita_Bin_10_2550_sec <= 20.116667
12	Mask_Chirurgica_Stazione_mean_2550_sec > 8.850000			
13	'Frequenza arrivo treni AV 1' <= 66	'Frequenza arrivo treni LeonardoExpress 1' > 30	Pass_Salita_Bin_10_2550_sec <= 28.883333	Pass_Discesa_Bin_10_2550_sec > 22.650000
14	'Percentuale positivi in partenza' <= 0.275000	'Percentuale positivi in arrivo' <= 0.285000	'Arrivi I' <= 42	'Frequenza arrivo treni LeonardoExpress 1' > 33
15	'Percentuale positivi in arrivo' <= 0.285000	'Percentuale pax con FFP2' <= 0.285000	0.305000 < 'Percentuale pax con chirurgica' <= 0.385000	36 < 'Frequenza arrivo treni AV 1' <= 58
16	Pass_Discesa_Bin_1_2550_sec > 5.016667	Pass_Salita_Bin_10_2550_sec > 10.250000		
17	Contatti_Stazione_mean_2550_sec <= 0.850000			
18	Positivi_Stazione_mean_2550_sec > 17.250000			
19	'Frequenza arrivo treni AV 1' > 40	'Frequenza arrivo treni LeonardoExpress 1' <= 33	Contatti_Stazione_mean_2550_sec <= 3.750000	
20	0.205000 < 'Percentuale pax con FFP2' <= 0.225000	'Partenze 1' <= 58	'Frequenza arrivo treni AV 1' > 36	'Frequenza arrivo treni LeonardoExpress 1' > 33
21	'Percentuale positivi in arrivo' > 0.255000	'Percentuale pax con FFP2' > 0.225000	'Arrivi I' > 44	34 < 'Frequenza arrivo treni LeonardoExpress 1' <= 65
22	'Arrivi I' > 43	35 < 'Frequenza arrivo treni AV 1' <= 61	'Frequenza arrivo treni LeonardoExpress 1' > 59	Positivi_Stazione_mean_2550_sec <= 12.650000
23	'Frequenza arrivo treni AV 1' <= 50	31 < 'Frequenza arrivo treni LeonardoExpress 1' <= 68	2.583333 < Pass_Salita_Bin_1_2550_sec <= 24.750000	Pass_Discesa_Bin_1_2550_sec > 3.383333
24	Pass_Salita_Bin_1_2550_sec <= 22.983333	Pass_Lungo_Bin_1_2550_sec > 10.350000	4.050000 < Pass_Lungo_Bin_10and11_2550_sec <= 22.650000	Mask_Chirurgica_Stazione_mean_2550_sec > 7.350000
25	Contatti_Stazione_mean_2550_sec <= 0.950000			
26	0.205000 < 'Percentuale pax con FFP2' <= 0.285000	'Percentuale pax con chirurgica' > 0.305000	'Arrivi I' <= 58	5.883333 < Pass_Salita_Bin_1_2550_sec <= 25.883333
27	'Arrivi I' > 47	40 < 'Frequenza arrivo treni AV 1' <= 64	41 < 'Frequenza arrivo treni LeonardoExpress 1' <= 58	Pass_Salita_Bin_1_2550_sec <= 17.383333
28	'Frequenza arrivo treni AV 1' > 65	'Frequenza arrivo treni LeonardoExpress 1' > 31	Pass_Discesa_Bin_1_2550_sec <= 23.750000	Pass_Lungo_Bin_10and11_2550_sec > 15.150000
29	'Percentuale pax con chirurgica' <= 0.305000	40 < 'Arrivi I' <= 58	'Partenze 1' <= 58	Pass_Salita_Bin_10_2550_sec <= 19.983333
30	Pass_Salita_Bin_10_2550_sec <= 22.883333			





# Rule-based model

# RuleX

DT\_1

Rule Info

Number of rules: 59 Percentage of total: 100.00%

Filtering

Select rules for output:

1	≤ # Conditions ≤	11
0,000000	≤ Covering ≤	69,000000
0,000000	≤ Error ≤	5,000000

Select rules containing:

**Attributes** **Output**

1. Scenario rispetto distanza (alto, medio, basso)
2. Distanza interpersonale minima
3. Percentuale positivi in partenza
4. Percentuale positivi in arrivo
5. Percentuale pax con FFP2
6. Percentuale pax con chirurgica
7. Arrivi I
8. Partenze 1
9. Frequenza arrivo treni AV 1
10. Frequenza arrivo treni LeonardoExpress 1
11. Pass_Salita_Bin_1_2550_sec
12. Pass_Discesa_Bin_1_2550_sec
13. Pass_Lungo_Bin_1_2550_sec
14. Pass_Salita_Bin_10_2550_sec
15. Pass_Discesa_Bin_10_2550_sec
16. Pass_Lungo_Bin_10and11_2550_sec
17. Pass_Stazione_mean_2550_sec
18. Positivi_Stazione_mean_2550_sec
19. Contatti_Stazione_mean_2550_sec
20. Mask_Chirurgica_Stazione_mean_2550_sec
21. Mask_FFP2_Stazione_mean_2550_sec

Search attribute:

Order attributes by:

Sort conditions by:

Filter conditions

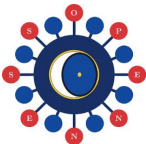
Rules History Documentation Parametric options

# Cond	Output	Cond 1	Cond 2	Cond 3	Cond 4	Cond 5	Cond 6	Cond 7	Cond 8	Cond 9	Cond 10	Cond 11
1	J_DT_1_binario = Low	Frequenza arrivo treni AV 1 > 32	Pass_Stazione_mean_2550_sec ≤ 79.150	Contatti_Stazione_mean_2550_sec ≤ 0.350								
2	J_DT_1_binario = Low	Frequenza arrivo treni AV 1 > 36	Pass_Salita_Bin_1_2550_sec > 0.783	Pass_Discesa_Bin_10_2550_sec > 2.450	Positivi_Stazione_mean_2550_sec ≤ 17.150	Contatti_Stazione_mean_2550_sec ≤ 0.950						
3	J_DT_1_binario = Low	Frequenza arrivo treni AV 1 > 37	Contatti_Stazione_mean_2550_sec ≤ 0.050									
4	J_DT_1_binario = High	Frequenza arrivo treni AV 1 > 42	Contatti_Stazione_mean_2550_sec > 2.950									
5	J_DT_1_binario = High	Percentuale positivi in partenza ≤ 0.285	Percentuale positivi in arrivo > 0.115	0.305 < Percentuale pax con chirurgica ≤ 0.385	Arrivi I > 40							
6	J_DT_1_binario = High	Percentuale pax con FFP2 > 0.205	Frequenza arrivo treni AV 1 > 50	Frequenza arrivo treni LeonardoExpress 1 > 30	Pass_Salita_Bin_1_2550_sec ≤ 26.417	Pass_Salita_Bin_10_2550_sec ≤ 23.983	1.950 < Contatti_Stazione_mean_2550_sec ≤ 2.950					
7	J_DT_1_binario = High											

# Patt.	Covering	w\o Cond 1	w\o Cond 2	w\o Cond 3	w\o Cond 4	w\o Cond 5	w\o Cond 6	w\o Cond 7	w\o Cond 8	w\o Cond 9	w\o Cond 10	w\o Cond 11
1	6931	68.172	5.713	7.070	14.760							
2	6931	64.089	12.552	0.822	0.447	4.141	9.061					
3	6931	63.627	12.567	15.496								
4	1068	11.517	2.154	64.232								
5	1068	11.236	0.843	0.655	2.247	0.281	0.375	1.124	0.936	4.682	5.243	
6	1068	10.861	0.468	3.745	0.000	0.281	0.468	32.491	0.187			

# Patt.	Error	w\o Cond 1	w\o Cond 2	w\o Cond 3	w\o Cond 4	w\o Cond 5	w\o Cond 6	w\o Cond 7	w\o Cond 8	w\o Cond 9	w\o Cond 10	w\o Cond 11
1	1068	4.307	3.184	3.371	81.648							
2	1068	4.869	6.461	0.749	0.562	2.434	75.468					
3	1068	1.030	5.899	85.393								
4	6931	0.721	2.525	66.008								
5	6931	0.765	0.115	0.188	0.231	0.058	0.058	0.159	0.101	0.606	12.336	
6	6931	0.736	0.188	0.967	0.029	0.043	0.072	34.093	0.043			





# Performance of the model

# RuleX

## DT\_1

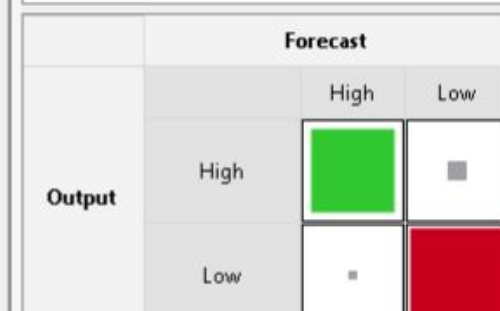
Output: J\_DT\_1\_binario

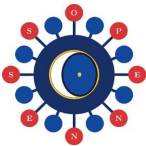
Prediction: pred(J\_DT\_1\_binario)

Display matrix for: Training set

Show percentage

Output	Forecast		
	High	Low	Total
High	<b>863 (80.805%)</b>	205 (19.195%)	1068 (13.352%)
Low	594 (8.570%)	<b>6337 (91.430%)</b>	6931 (86.648%)
Total	1457 (18.215%)	6542 (81.785%)	<b>7999 (100%)</b>





# Performance of the model

# RuleX

## DT\_1

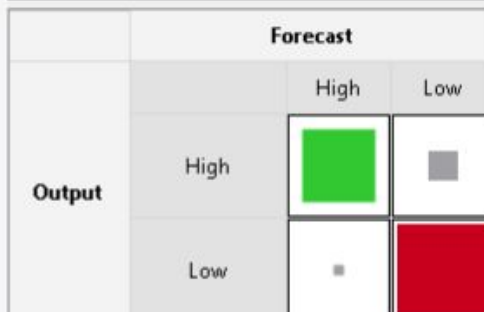
Output:  
J\_DT\_1\_binario

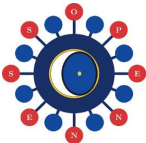
Prediction:  
pred(J\_DT\_1\_binario)

Display matrix for:  
Test set

Show percentage

Output	Forecast		
	High	Low	Total
High	<b>199 (71.071%)</b>	81 (28.929%)	280 (14.000%)
Low	168 (9.767%)	<b>1552 (90.233%)</b>	1720 (86.000%)
Total	367 (18.350%)	1633 (81.650%)	<b>2000 (100%)</b>



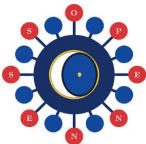


# Performance of the model

RuleX

DT 1

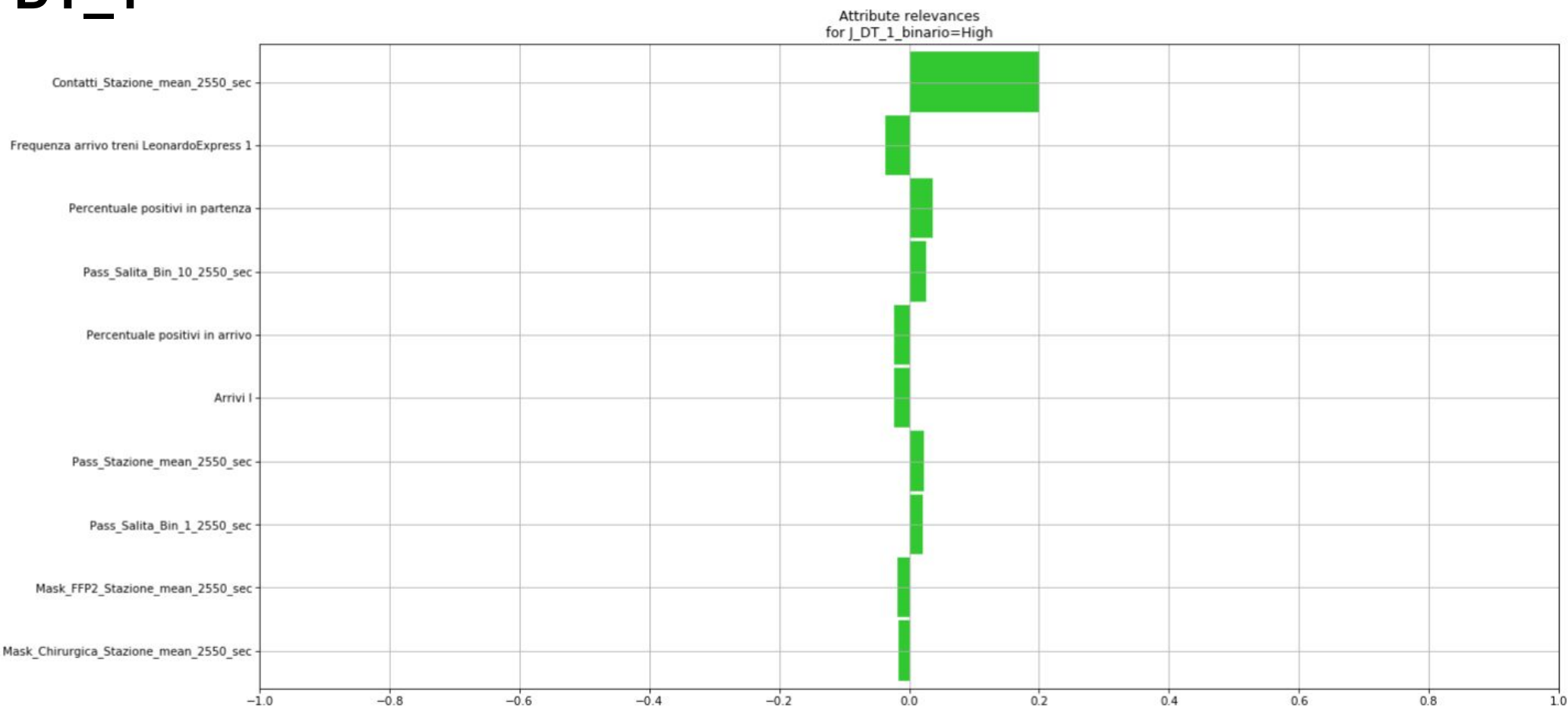


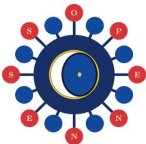


# Performance of the model

RuleX

DT\_1

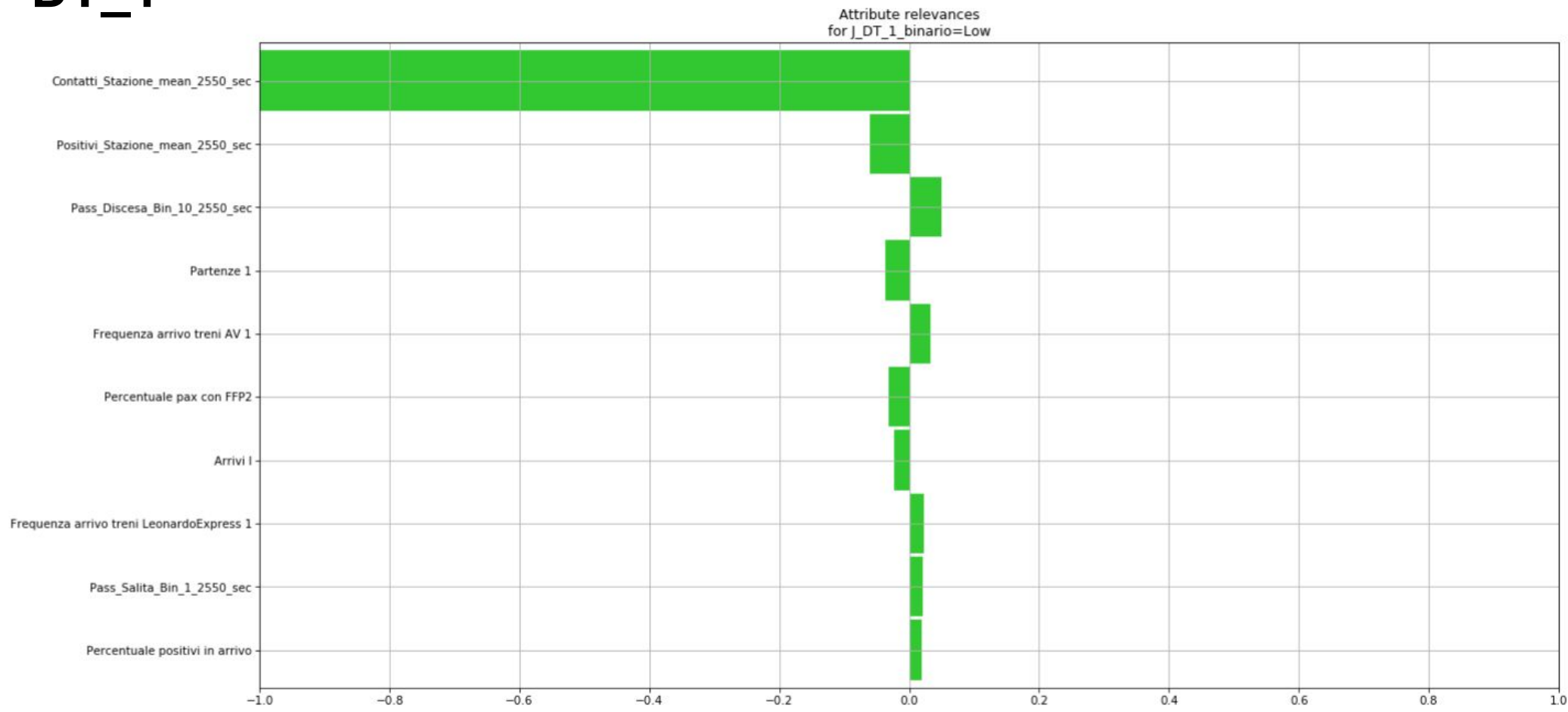


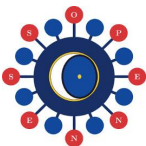


# Performance of the model

# RuleX

## DT\_1





# Configuration of I/O features

DT 1-DT 11

# RuleX

Options Monitor Results Documentation Parametric options

Available attributes:

- 26. J([1800,2700]\_sec)
- 44. J([2700,3600]\_sec)
- 62. J([3600,4500]\_sec)
- 80. J([4500,5400]\_sec)
- 98. J([5400,6300]\_sec)
- 116. J([6300,7200]\_sec)
- 134. J([7200,8100]\_sec)
- 152. J([8100,9000]\_sec)
- 170. J([9000,9900]\_sec)
- 188. J([9900,10800]\_sec)
- 206. J([10800,11700]\_sec)
- 207. J\_First\_Half([1800,6300]\_sec)
- 208. J\_Second\_Half([6300,11700]\_sec)
- 209. J

Input attributes:

- Scenario rispetto distanza (alto, medio, basso)
- Distanza interpersonale minima
- Tasso Ricambio Aria Interni
- Tasso Ricambio Aria Esterne
- Percentuale positivi in partenza
- Arrivi 6
- Partenze 6
- Frequenza arrivo treni AV 6
- Frequenza arrivo treni LeonardoExpress 6
- Durata Sosta AV 6
- Arrivi 8
- Arrivi 9
- Partenze 9
- Frequenza arrivo treni AV 9
- Frequenza arrivo treni LeonardoExpress 9
- Arrivi 10
- Partenze 10
- Frequenza arrivo treni AV 10

Output attributes:

- J\_binario

Key attributes:

Search attribute:

Order attributes by:

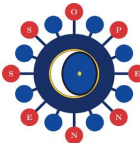
Attribute

Manual list Filtered list

Manual list Filtered list

Manual list Filtered list



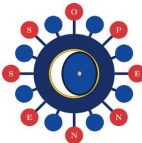


# Rule-based model

## DT\_1-DT\_11

```
1 #include <string.h>
2 const char *ApplyRules(float Percentuale_positivi_in_partenza, float Percentuale_positivi_in_arrivo, int Arrivi_1, int Partenze_1, int Frequenza_arrivo_treni_AV_1, int Frequenza_arrivo_treni_LeonardoExpress_1, float Pass_Salita_Bin_1_2550_sec, float Pass_Discesa_Bin_1_2550_sec, float Pass_Lungo_Bin_1_2550_sec, float Pass_Salita_Bin_10_2550_sec, float Pass_Discesa_Bin_10_2550_sec, float Pass_Lungo_Bin_10and11_2550_sec, float Pass_Stazione_mean_2550_sec, float Positivi_Stazione_mean_2550_sec, float Contatti_Stazione_mean_2550_sec, float Mask_Chirurgica_Stazione_mean_2550_sec, float Mask_FFP2_Stazione_mean_2550_sec, int Arrivi_2, int Partenze_2, int Frequenza_arrivo_treni_AV_2, int Frequenza_arrivo_treni_LeonardoExpress_2, float Pass_Salita_Bin_1_3450_sec, float Pass_Discesa_Bin_1_3450_sec, float Pass_Lungo_Bin_1_3450_sec, float Pass_Salita_Bin_10_3450_sec, float Pass_Discesa_Bin_10_3450_sec, float Pass_Lungo_Bin_10and11_3450_sec, float Pass_Stazione_mean_3450_sec, float Positivi_Stazione_mean_3450_sec, float Contatti_Stazione_mean_3450_sec, float Mask_Chirurgica_Stazione_mean_3450_sec, float Mask_FFP2_Stazione_mean_3450_sec, int Frequenza_arrivo_treni_AV_3, int Frequenza_arrivo_treni_LeonardoExpress_3, float Pass_Salita_Bin_1_4350_sec, float Pass_Discesa_Bin_1_4350_sec, float Pass_Lungo_Bin_1_4350_sec, float Pass_Salita_Bin_10_4350_sec, float Pass_Discesa_Bin_10_4350_sec, float Pass_Lungo_Bin_10and11_4350_sec, float Pass_Stazione_mean_4350_sec, float Positivi_Stazione_mean_4350_sec, float Contatti_Stazione_mean_4350_sec, float Mask_Chirurgica_Stazione_mean_4350_sec, float Mask_FFP2_Stazione_mean_4350_sec, int Arrivi_4, int Partenze_4, int Frequenza_arrivo_treni_AV_4, int Frequenza_arrivo_treni_LeonardoExpress_4, float Pass_Salita_Bin_1_5250_sec, float Pass_Discesa_Bin_1_5250_sec, float Pass_Lungo_Bin_1_5250_sec, float Pass_Salita_Bin_10_5250_sec, float Pass_Discesa_Bin_10_5250_sec, float Pass_Lungo_Bin_10and11_5250_sec, float Pass_Stazione_mean_5250_sec, float Positivi_Stazione_mean_5250_sec, float Contatti_Stazione_mean_5250_sec, float Mask_Chirurgica_Stazione_mean_5250_sec, float Mask_FFP2_Stazione_mean_5250_sec, int Arrivi_5, int Frequenza_arrivo_treni_AV_5, int Frequenza_arrivo_treni_LeonardoExpress_5, float Pass_Salita_Bin_1_6150_sec, float Pass_Discesa_Bin_1_6150_sec, float Pass_Salita_Bin_10_6150_sec, float Pass_Discesa_Bin_10_6150_sec, float Pass_Lungo_Bin_10and11_6150_sec, float Pass_Stazione_mean_6150_sec, float Positivi_Stazione_mean_6150_sec, float Contatti_Stazione_mean_6150_sec, float Mask_Chirurgica_Stazione_mean_6150_sec, float Mask_FFP2_Stazione_mean_6150_sec, int Partenze_6, int Frequenza_arrivo_treni_AV_6, int Frequenza_arrivo_treni_LeonardoExpress_6, float Pass_Salita_Bin_1_7050_sec, float Pass_Discesa_Bin_1_7050_sec, float Pass_Lungo_Bin_1_7050_sec, float Pass_Salita_Bin_10_7050_sec, float Pass_Discesa_Bin_10_7050_sec, float Pass_Lungo_Bin_10and11_7050_sec, float Pass_Stazione_mean_7050_sec, float Positivi_Stazione_mean_7050_sec, float Contatti_Stazione_mean_7050_sec, float Mask_Chirurgica_Stazione_mean_7050_sec, float Mask_FFP2_Stazione_mean_7050_sec, int Arrivi_7, int Partenze_7, int Frequenza_arrivo_treni_AV_7, int Frequenza_arrivo_treni_LeonardoExpress_7, float Pass_Salita_Bin_1_7950_sec, float Pass_Discesa_Bin_1_7950_sec, float Pass_Lungo_Bin_1_7950_sec, float Pass_Salita_Bin_10_7950_sec, float Pass_Discesa_Bin_10_7950_sec, float Pass_Stazione_mean_7950_sec, float Positivi_Stazione_mean_7950_sec, float Contatti_Stazione_mean_7950_sec, float Mask_Chirurgica_Stazione_mean_7950_sec, float Mask_FFP2_Stazione_mean_7950_sec, int Arrivi_8, int Partenze_8, int Frequenza_arrivo_treni_AV_8, int Frequenza_arrivo_treni_LeonardoExpress_8, float Pass_Salita_Bin_1_8850_sec, float Pass_Discesa_Bin_1_8850_sec, float Pass_Lungo_Bin_1_8850_sec, float Pass_Salita_Bin_10_8850_sec, float Pass_Discesa_Bin_10_8850_sec, float Pass_Lungo_Bin_10and11_8850_sec, float Pass_Stazione_mean_8850_sec, float Positivi_Stazione_mean_8850_sec, float Contatti_Stazione_mean_8850_sec, float Mask_Chirurgica_Stazione_mean_8850_sec, float Mask_FFP2_Stazione_mean_8850_sec, int Arrivi_9, int Partenze_9, int Frequenza_arrivo_treni_AV_9, int Frequenza_arrivo_treni_LeonardoExpress_9, float Pass_Salita_Bin_1_9750_sec, float Pass_Discesa_Bin_1_9750_sec, float Pass_Lungo_Bin_1_9750_sec, float Pass_Salita_Bin_10_9750_sec, float Pass_Discesa_Bin_10_9750_sec, float Pass_Lungo_Bin_10and11_9750_sec, float Pass_Stazione_mean_9750_sec, float Positivi_Stazione_mean_9750_sec, float Contatti_Stazione_mean_9750_sec, float Mask_Chirurgica_Stazione_mean_9750_sec, float Mask_FFP2_Stazione_mean_9750_sec, int Arrivi_10, int Frequenza_arrivo_treni_AV_10, int Frequenza_arrivo_treni_LeonardoExpress_10, float Pass_Salita_Bin_1_10650_sec, float Pass_Discesa_Bin_1_10650_sec, float Pass_Lungo_Bin_1_10650_sec, float Pass_Salita_Bin_10_10650_sec, float Pass_Discesa_Bin_10_10650_sec, float Pass_Lungo_Bin_10and11_10650_sec, float Pass_Stazione_mean_10650_sec, float Positivi_Stazione_mean_10650_sec, float Contatti_Stazione_mean_10650_sec, float Mask_Chirurgica_Stazione_mean_10650_sec, float Mask_FFP2_Stazione_mean_10650_sec, int Arrivi_11, int Partenze_11, int Frequenza_arrivo_treni_AV_11, int Frequenza_arrivo_treni_LeonardoExpress_11, float Pass_Salita_Bin_1_11550_sec, float Pass_Discesa_Bin_1_11550_sec, float Pass_Lungo_Bin_1_11550_sec, float Pass_Salita_Bin_10_11550_sec, float Pass_Discesa_Bin_10_11550_sec, float Pass_Lungo_Bin_10and11_11550_sec, float Positivi_Stazione_mean_11550_sec, float Contatti_Stazione_mean_11550_sec, float Mask_Chirurgica_Stazione_mean_11550_sec, float Mask_FFP2_Stazione_mean_11550_sec) {
```





# Rule-based model

## DT\_1-DT\_11

```
3 if ((Pass_Discesa_Bin_10_2550_sec > 0.416667) && (Contatti_Stazione_mean_2550_sec <= 0.050000) && (Contatti_Stazione_mean_3450_sec <= 4.250000) &&  
(Contatti_Stazione_mean_4350_sec <= 5.350000) && (Mask_FFP2_Stazione_mean_4350_sec <= 33.700000) && (Contatti_Stazione_mean_5250_sec <= 0.850000) &&  
(Pass_Stazione_mean_6150_sec <= 117.500000) && (Contatti_Stazione_mean_6150_sec <= 12.850000) && (Mask_Chirurgica_Stazione_mean_6150_sec > 1.950000) &&  
(Positivi_Stazione_mean_7950_sec <= 35.600000) && (Contatti_Stazione_mean_7950_sec <= 1.950000) && (Mask_Chirurgica_Stazione_mean_7950_sec <= 46.150000) &&  
(Contatti_Stazione_mean_8850_sec <= 11.750000) && (Pass_Salita_Bin_1_9750_sec <= 37.816667) && (Contatti_Stazione_mean_9750_sec <= 14.350000) &&  
(Pass_Salita_Bin_1_11550_sec <= 35.583333) && (Positivi_Stazione_mean_11550_sec <= 21.100000)) return "Low";  
4 if ((Frequenza_arrivo_treni_AV_1 > 52) && (Contatti_Stazione_mean_2550_sec > 0.950000) && Contatti_Stazione_mean_2550_sec <= 3.350000) &&  
(Pass_Lungo_Bin_10and11_4350_sec <= 13.950000) && (Mask_Chirurgica_Stazione_mean_4350_sec > 2.250000) && (Pass_Stazione_mean_6150_sec > 14.950000) &&  
(Mask_Chirurgica_Stazione_mean_6150_sec > 2.950000) && (Pass_Salita_Bin_1_7950_sec > 0.016667) && (Pass_Stazione_mean_7950_sec > 11.250000) &&  
(Pass_Lungo_Bin_10and11_8850_sec > 2.950000) && (Positivi_Stazione_mean_8850_sec > 0.850000) && (Pass_Salita_Bin_1_11550_sec > 0.016667)) return "High";  
5 if ((Pass_Salita_Bin_1_2550_sec > 0.683333) && (Pass_Lungo_Bin_1_2550_sec > 6.750000) && (Pass_Lungo_Bin_10and11_2550_sec <= 20.950000) &&  
(Contatti_Stazione_mean_2550_sec <= 0.350000) && (Pass_Discesa_Bin_1_3450_sec <= 36.500000) && (Pass_Lungo_Bin_10and11_3450_sec > 5.350000) &&  
(Contatti_Stazione_mean_3450_sec <= 13.200000) && (Contatti_Stazione_mean_4350_sec <= 7.150000) && (Mask_FFP2_Stazione_mean_4350_sec <= 38.550000) &&  
(Pass_Salita_Bin_1_5250_sec <= 31.183333) && (Contatti_Stazione_mean_5250_sec <= 3.450000) && (Mask_Chirurgica_Stazione_mean_5250_sec <= 40.850000) &&  
(Mask_FFP2_Stazione_mean_5250_sec > 1.050000) && Mask_FFP2_Stazione_mean_5250_sec <= 22.350000) && (Contatti_Stazione_mean_6150_sec <= 1.050000) &&  
(Pass_Salita_Bin_1_7050_sec > 0.950000) && (Pass_Salita_Bin_10_7050_sec > 0.816667) && Pass_Salita_Bin_10_7050_sec <= 35.950000) &&  
(Pass_Stazione_mean_7050_sec > 10.250000) && (Mask_Chirurgica_Stazione_mean_7050_sec > 2.050000) && (Positivi_Stazione_mean_7950_sec <= 33.850000) &&  
(Mask_Chirurgica_Stazione_mean_7950_sec <= 48.050000) && (Mask_FFP2_Stazione_mean_7950_sec > 0.250000) && (Pass_Lungo_Bin_1_8850_sec <= 36.550000) &&  
(Pass_Discesa_Bin_10_8850_sec <= 33.933333) && (Pass_Discesa_Bin_1_9750_sec > 1.283333) && (Pass_Discesa_Bin_10_9750_sec > 1.450000) &&  
(Pass_Salita_Bin_1_10650_sec <= 33.216667) && (Pass_Discesa_Bin_1_10650_sec > 0.083333) && (Pass_Salita_Bin_10_10650_sec <= 33.550000) &&  
(Pass_Stazione_mean_10650_sec <= 115.850000) && (Positivi_Stazione_mean_10650_sec <= 31.250000) && (Contatti_Stazione_mean_10650_sec <= 18.150000) &&  
(Pass_Salita_Bin_1_11550_sec <= 35.583333) && (Mask_Chirurgica_Stazione_mean_11550_sec <= 20.750000)) return "Low";  
6 if ((Pass_Discesa_Bin_1_2550_sec <= 7.683333) && (Pass_Salita_Bin_10_2550_sec <= 19.683333) && (Positivi_Stazione_mean_2550_sec <= 32.700000) &&  
(Contatti_Stazione_mean_2550_sec <= 8.150000) && (Mask_Chirurgica_Stazione_mean_2550_sec > 3.350000) && (Pass_Salita_Bin_10_3450_sec > 1.550000) &&  
(Pass_Stazione_mean_3450_sec > 9.650000) && (Contatti_Stazione_mean_3450_sec <= 0.650000) && (Mask_Chirurgica_Stazione_mean_3450_sec > 0.700000) &&  
(Mask_FFP2_Stazione_mean_4350_sec <= 33.700000) && (Pass_Salita_Bin_10_5250_sec > 0.016667) && Pass_Salita_Bin_10_5250_sec <= 32.233333) &&  
(Pass_Discesa_Bin_10_5250_sec <= 33.116667) && (Positivi_Stazione_mean_5250_sec <= 31.650000) && (Contatti_Stazione_mean_5250_sec <= 11.550000) &&  
(Mask_Chirurgica_Stazione_mean_5250_sec > 2.250000) && (Mask_FFP2_Stazione_mean_5250_sec > 0.100000) && (Pass_Salita_Bin_1_6150_sec <= 23.650000) &&  
(Pass_Stazione_mean_6150_sec <= 120.750000) && (Contatti_Stazione_mean_6150_sec <= 14.300000) && (Mask_Chirurgica_Stazione_mean_6150_sec <= 47.350000) &&  
(Mask_FFP2_Stazione_mean_6150_sec <= 32.700000) && (Pass_Discesa_Bin_10_7050_sec <= 31.650000) && (Pass_Stazione_mean_7050_sec <= 111.550000) &&  
(Contatti_Stazione_mean_7050_sec <= 3.050000) && (Pass_Lungo_Bin_1_7950_sec > 0.750000) && (Contatti_Stazione_mean_7950_sec <= 17.350000) &&  
(Mask_Chirurgica_Stazione_mean_7950_sec > 3.750000) && Mask_Chirurgica_Stazione_mean_7950_sec <= 47.500000) && (Pass_Salita_Bin_10_9750_sec <= 29.650000) &&  
(Pass_Discesa_Bin_10_9750_sec <= 31.733333) && (Pass_Stazione_mean_9750_sec > 14.950000) && (Mask_Chirurgica_Stazione_mean_9750_sec <= 39.950000) &&  
(Positivi_Stazione_mean_11550_sec <= 20.550000) && (Mask_FFP2_Stazione_mean_11550_sec <= 21.450000)) return "Low";  
7 if ((Contatti_Stazione_mean_2550_sec > 1.950000) && (Contatti_Stazione_mean_3450_sec > 0.450000)) return "High";
```





# Rule-based model

## DT\_1-DT\_11

1	A	B	C	D	E	F	G	H	I	J
1	Id rule	# of conditions	Output attribute	Output value	Total right	Covering %	Total wrong	Error %	Condition 1	Condition 2
2	1	17	J_binario	Low	5973	59,116022	2026	4,985192	'Pass_Discesa_Bin_10_2550_sec > 0.416667'	'Contatti_Stazione_mean_2550_sec <= 0.050000'
3	2	11	J_binario	High	2026	30,94768	5973	1,690943	'Frequenza arrivo treni AV 1' > 52	'0.950000 < Contatti_Stazione_mean_2550_sec <= 3.350000'
4	3	33	J_binario	Low	5973	30,13561	2026	4,985192	'Pass_Salita_Bin_1_2550_sec > 0.683333'	'Pass_Lungo_Bin_1_2550_sec > 6.750000'
5	4	33	J_binario	Low	5973	22,099448	2026	4,985192	'Pass_Discesa_Bin_1_2550_sec <= 7.683333'	'Pass_Salita_Bin_10_2550_sec <= 19.683333'
6	5	2	J_binario	High	2026	20,483712	5973	1,456554	'Contatti_Stazione_mean_2550_sec > 1.950000'	'Contatti_Stazione_mean_3450_sec > 0.450000'
7	6	12	J_binario	Low	5973	14,197221	2026	4,935834	'Pass_Lungo_Bin_1_2550_sec > 3.350000'	'Contatti_Stazione_mean_2550_sec <= 2.950000'
8	7	43	J_binario	Low	5973	13,125732	2026	4,985192	'Frequenza arrivo treni AV 1' <= 45	'Pass_Lungo_Bin_1_2550_sec > 0.350000'
9	8	37	J_binario	Low	5973	12,69044	2026	4,985192	'Pass_Salita_Bin_1_2550_sec <= 16.016667'	'Pass_Discesa_Bin_1_2550_sec > 0.883333'
10	9	38	J_binario	Low	5973	12,18818	2026	4,985192	'Pass_Discesa_Bin_1_2550_sec > 1.016667'	'Pass_Salita_Bin_10_2550_sec <= 16.983333'
11	10	48	J_binario	High	2026	11,796644	5973	1,690943	'Frequenza arrivo treni AV 1' <= 53	'Frequenza arrivo treni LeonardoExpress 1' <= 68
12	11	17	J_binario	Low	5973	11,43479	2026	4,985192	'Pass_Salita_Bin_10_2550_sec > 1.016667'	'Pass_Discesa_Bin_10_2550_sec <= 26.550000'
13	12	13	J_binario	High	2026	11,056269	5973	1,690943	'Contatti_Stazione_mean_2550_sec <= 5.350000'	'Mask_FFP2_Stazione_mean_3450_sec > 1.050000'
14	13	12	J_binario	Low	5973	10,915788	2026	4,442251	'Partenze 2' > 41	'0.050000 < Mask_FFP2_Stazione_mean_4350_sec <= 9.150000'
15	14	21	J_binario	Low	5973	10,43027	2026	4,985192	'Pass_Lungo_Bin_10and11_2550_sec > 20.950000'	'Pass_Stazione_mean_2550_sec > 31.050000'
16	15	22	J_binario	High	2026	10,315893	5973	1,674201	'Arrivi 1' > 42	'Pass_Discesa_Bin_1_2550_sec > 1.416667'
17	16	25	J_binario	High	2026	10,11846	5973	1,690943	'Pass_Stazione_mean_2550_sec > 17.650000'	'Contatti_Stazione_mean_2550_sec <= 2.250000'
18	17	36	J_binario	High	2026	10,069102	5973	1,690943	'Pass_Discesa_Bin_1_2550_sec > 1.716667'	'Pass_Discesa_Bin_10_2550_sec > 1.366667'
19	18	54	J_binario	Low	5973	9,978235	2026	4,985192	'Pass_Salita_Bin_1_2550_sec > 8.250000'	'Pass_Salita_Bin_10_2550_sec > 15.516667'
20	19	44	J_binario	Low	5973	9,475975	2026	4,985192	'Percentuale positivi in arrivo' <= 0.285000	'Frequenza arrivo treni AV 1' > 44
21	20	37	J_binario	High	2026	8,588351	5973	1,690943	'Percentuale positivi in arrivo' > 0.105000	'Frequenza arrivo treni LeonardoExpress 1' <= 68
22	21	19	J_binario	High	2026	7,551826	5973	1,690943	'Contatti_Stazione_mean_2550_sec <= 1.550000'	'Pass_Salita_Bin_1_3450_sec > 0.650000'
23	22	19	J_binario	High	2026	6,663376	5973	1,690943	'Pass_Discesa_Bin_1_2550_sec <= 26.583333'	'Pass_Salita_Bin_10_2550_sec <= 19.850000'
24	23	4	J_binario	Low	5973	6,462414	2026	4,935834	'Frequenza arrivo treni AV 8' <= 42	'Pass_Lungo_Bin_10and11_9750_sec <= 12.050000'
25	24	34	J_binario	High	2026	4,738401	5973	1,690943	'Pass_Discesa_Bin_10_2550_sec <= 28.883333'	'Contatti_Stazione_mean_2550_sec <= 0.950000'
26	25	64	J_binario	High	2026	4,096742	5973	1,707685	'Percentuale positivi in partenza' > 0.105000	'Percentuale positivi in arrivo' <= 0.215000
27	26	21	J_binario	High	2026	3,405726	5973	1,690943	'Positivi_Stazione_mean_2550_sec <= 22.450000'	'Contatti_Stazione_mean_2550_sec <= 0.950000'
28	27	32	J_binario	High	2026	3,208292	5973	1,690943	'Pass_Discesa_Bin_10_2550_sec > 4.550000'	'Pass_Lungo_Bin_10and11_2550_sec <= 24.950000'
29	28	3	J_binario	Low	5973	2,846141	2026	2,171767	'Pass_Salita_Bin_10_7950_sec <= 5.250000'	'Arrivi 9' > 52
30	29	2	J_binario	High	2026	2,122409	5973	0,468776	'Pass_Discesa_Bin_1_7050_sec > 22.483333'	'Contatti_Stazione_mean_8850_sec > 1.750000'



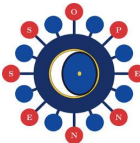


# Rule-based model

## DT\_1-DT\_11

	J	K	L	M
1	Condition 2	Condition 3	Condition 4	Condition 5
2	Contatti_Stazione_mean_2550_sec <= 0.050000	Contatti_Stazione_mean_3450_sec <= 4.250000	Contatti_Stazione_mean_4350_sec <= 5.350000	Mask_FFP2_Stazione_mean_4350_sec <= 33.700000
3	0.950000 < Contatti_Stazione_mean_2550_sec <= 3.350000	Pass_Lungo_Bin_10and11_4350_sec <= 13.950000	Mask_Chirurgica_Stazione_mean_4350_sec > 2.250000	Pass_Stazione_mean_6150_sec > 14.950000
4	Pass_Lungo_Bin_1_2550_sec > 6.750000	Pass_Lungo_Bin_10and11_2550_sec <= 20.950000	Contatti_Stazione_mean_2550_sec <= 0.350000	Pass_Discesa_Bin_1_3450_sec <= 36.500000
5	Pass_Salita_Bin_10_2550_sec <= 19.683333	Positivi_Stazione_mean_2550_sec <= 32.700000	Contatti_Stazione_mean_2550_sec <= 8.150000	Mask_Chirurgica_Stazione_mean_2550_sec > 3.350000
6	Contatti_Stazione_mean_3450_sec > 0.450000			
7	Contatti_Stazione_mean_2550_sec <= 2.950000	Pass_Salita_Bin_10_4350_sec > 2.483333	Contatti_Stazione_mean_4350_sec <= 1.450000	'Frequenza arrivo treni AV 4' <= 67
8	Pass_Lungo_Bin_1_2550_sec > 0.350000	23.350000 < Pass_Stazione_mean_2550_sec <= 57.650000	Positivi_Stazione_mean_2550_sec > 2.050000	Contatti_Stazione_mean_2550_sec <= 7.950000
9	Pass_Discesa_Bin_1_2550_sec > 0.883333	Pass_Salita_Bin_10_2550_sec > 0.250000	55.450000 < Pass_Stazione_mean_2550_sec <= 118.900000	Contatti_Stazione_mean_2550_sec <= 11.900000
10	Pass_Salita_Bin_10_2550_sec <= 16.983333	17.450000 < Pass_Stazione_mean_2550_sec <= 30.950000	Contatti_Stazione_mean_2550_sec <= 1.950000	Mask_Chirurgica_Stazione_mean_2550_sec <= 15.950000
11	'Frequenza arrivo treni LeonardoExpress 1' <= 68	0.016667 < Pass_Salita_Bin_1_2550_sec <= 29.700000	Pass_Salita_Bin_10_2550_sec > 0.483333	Pass_Discesa_Bin_10_2550_sec <= 30.100000
12	Pass_Discesa_Bin_10_2550_sec <= 26.550000	Contatti_Stazione_mean_2550_sec <= 2.250000	Pass_Lungo_Bin_10and11_3450_sec <= 5.250000	Contatti_Stazione_mean_3450_sec <= 4.750000
13	Mask_FFP2_Stazione_mean_3450_sec > 1.050000	Mask_Chirurgica_Stazione_mean_4350_sec > 2.150000	Pass_Stazione_mean_5250_sec <= 99.100000	Positivi_Stazione_mean_5250_sec <= 22.650000
14	0.050000 < Mask_FFP2_Stazione_mean_4350_sec <= 9.150000	'Partenze 4' > 41	Pass_Discesa_Bin_10_6150_sec > 4.250000	Contatti_Stazione_mean_6150_sec <= 0.450000
15	Pass_Stazione_mean_2550_sec > 31.050000	Contatti_Stazione_mean_2550_sec <= 1.850000	Mask_Chirurgica_Stazione_mean_2550_sec <= 27.150000	Pass_Salita_Bin_10_3450_sec > 0.550000
16	Pass_Discesa_Bin_1_2550_sec > 1.416667	Contatti_Stazione_mean_2550_sec > 0.650000	Pass_Discesa_Bin_1_3450_sec > 7.416667	Contatti_Stazione_mean_3450_sec <= 1.050000
17	Contatti_Stazione_mean_2550_sec <= 2.250000	Pass_Salita_Bin_1_3450_sec <= 33.016667	Pass_Discesa_Bin_10_3450_sec <= 28.983333	Positivi_Stazione_mean_3450_sec > 2.350000
18	Pass_Discesa_Bin_10_2550_sec > 1.366667	Pass_Stazione_mean_2550_sec <= 97.400000	Positivi_Stazione_mean_2550_sec > 1.750000	'Arrivi 2' <= 58
19	Pass_Salita_Bin_10_2550_sec > 15.516667	15.550000 < Pass_Discesa_Bin_10_2550_sec <= 20.983333	Positivi_Stazione_mean_2550_sec > 1.650000	Contatti_Stazione_mean_2550_sec <= 4.950000
20	'Frequenza arrivo treni AV 1' > 44	Pass_Discesa_Bin_1_2550_sec > 15.483333	7.016667 < Pass_Salita_Bin_10_2550_sec <= 26.916667	Pass_Stazione_mean_2550_sec > 29.150000
21	'Frequenza arrivo treni LeonardoExpress 1' <= 68	Positivi_Stazione_mean_2550_sec <= 27.600000	Contatti_Stazione_mean_2550_sec <= 1.750000	Pass_Salita_Bin_10_3450_sec <= 25.983333
22	Pass_Salita_Bin_1_3450_sec > 0.650000	1.416667 < Pass_Discesa_Bin_10_3450_sec <= 33.283333	Contatti_Stazione_mean_3450_sec > 1.850000	1.916667 < Pass_Salita_Bin_10_5250_sec <= 21.283333
23	Pass_Salita_Bin_10_2550_sec <= 19.850000	Mask_FFP2_Stazione_mean_2550_sec > 3.150000	'Frequenza arrivo treni LeonardoExpress 2' <= 68	Contatti_Stazione_mean_4350_sec <= 2.050000
24	Pass_Lungo_Bin_10and11_9750_sec <= 12.050000	Mask_FFP2_Stazione_mean_9750_sec > 6.550000	Pass_Lungo_Bin_1_11550_sec <= 15.250000	
25	Contatti_Stazione_mean_2550_sec <= 0.950000	'Partenze 2' <= 58	'Frequenza arrivo treni AV 2' > 30	Pass_Discesa_Bin_10_3450_sec > 3.016667
26	'Percentuale positivi in arrivo' <= 0.215000	'Partenze 1' > 40	'Frequenza arrivo treni AV 1' <= 57	Pass_Salita_Bin_1_2550_sec > 0.150000
27	Contatti_Stazione_mean_2550_sec <= 0.950000	'Arrivi 2' > 40	Mask_FFP2_Stazione_mean_3450_sec <= 27.850000	3.083333 < Pass_Discesa_Bin_1_4350_sec <= 24.766667
28	Pass_Lungo_Bin_10and11_2550_sec <= 24.950000	Positivi_Stazione_mean_2550_sec > 2.450000	Mask_Chirurgica_Stazione_mean_2550_sec > 7.450000	Pass_Stazione_mean_3450_sec <= 94.650000
29	'Arrivi 9' > 52	Mask_FFP2_Stazione_mean_9750_sec > 11.250000		
30	Contatti_Stazione_mean_8850_sec > 1.750000			





# Rule-based model

# RuleX

## DT\_1-DT\_11

Rule Info

Number of rules: 30 Percentage of total: 100.00%

Filtering

Select rules for output:

2	≤ # Conditions ≤	64
1,000000	≤ Covering ≤	60,000000
0,000000	≤ Error ≤	5,000000

Select rules containing:

Attributes Outputs

- 1. Percentuale positivi in partenza
- 2. Percentuale positivi in arrivo
- 3. Arrivi 1
- 4. Partenze 1
- 5. Frequenza arrivo treni AV 1
- 6. Frequenza arrivo treni LeonardoExpress 1
- 7. Pass\_Salita\_Bin\_1\_2550\_sec
- 8. Pass\_Lungo\_Bin\_1\_2550\_sec
- 9. Pass\_Lungo\_Bin\_10\_2550\_sec
- 10. Pass\_Salita\_Bin\_10\_2550\_sec
- 11. Pass\_Discesa\_Bin\_10\_2550\_sec
- 12. Pass\_Lungo\_Bin\_10and11\_2550\_sec
- 13. Pass\_Stazione\_mean\_2550\_sec
- 14. Positivi\_Stazione\_mean\_2550\_sec
- 15. Contatti\_Stazione\_mean\_2550\_sec
- 16. Mask\_Chirurgica\_Stazione\_mean\_2550\_sec
- 17. Mask\_FFP2\_Stazione\_mean\_2550\_sec
- 18. Arrivi 2
- 19. Partenze 2
- 20. Frequenza arrivo treni AV 2
- 21. Frequenza arrivo treni LeonardoExpress 2
- 22. Pass\_Salita\_Bin\_1\_3450\_sec

Search attribute:

Order attributes by:

Attribute

Sort conditions by:

Attribute

Filter conditions

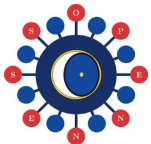
Rules History Documentation Parametric options

# Cond	Output	Cond 1	Cond 2	Cond 3	Cond 4	Cond 5
1	J_binario = Low	Pass_Discesa_Bin_10_2550_sec > 0.417	Contatti_Stazione_mean_2550_sec ≤ 0.050	Contatti_Stazione_mean_3450_sec ≤ 4.250	Contatti_Stazione_mean_4350_sec ≤ 5.350	Mask_FFP2_Stazione_mean_4350_sec ≤ 33.700
2	J_binario = High	Frequenza arrivo treni AV 1 > 52	0.950 < Contatti_Stazione_mean_2550_sec ≤ 3.350	Pass_Lungo_Bin_10and11_4350_sec ≤ 13.950	Mask_Chirurgica_Stazione_mean_4350_sec > 2.250	Pass_Stazione_mean_6150_sec > 14.950
3	J_binario = Low	Pass_Salita_Bin_1_2550_sec > 0.683	Pass_Lungo_Bin_1_2550_sec > 6.750	Pass_Lungo_Bin_10and11_2550_sec ≤ 20.950	Contatti_Stazione_mean_2550_sec ≤ 0.350	Pass_Discesa_Bin_1_3450_sec ≤ 36.500
4	J_binario = Low	Pass_Discesa_Bin_1_2550_sec ≤ 7.683	Pass_Salita_Bin_10_2550_sec ≤ 19.683	Positivi_Stazione_mean_2550_sec ≤ 32.700	Contatti_Stazione_mean_2550_sec ≤ 8.150	Mask_Chirurgica_Stazione_mean_2550_sec ...
5	J_binario = High	Contatti_Stazione_mean_2550_sec > 1.950	Contatti_Stazione_mean_3450_sec > 0.450			
6	J binario = Low	Pass_Lungo_Bin_1_2550_sec > 3.350	Contatti Stazione mean 2550 sec ≤ 2.950	Pass Salita Bin 10 4350 sec > 2.483	Contatti Stazione mean 4350 sec ≤ 1.450	Frequenza arrivo treni AV 4 ≤ 67

# Patt.	Covering	w\o Cond 1	w\o Cond 2	w\o Cond 3	w\o Cond 4	w\o Cond 5	w\o Cond 6	w\o Cond 7	w\o Cond 8	w\o Cond 9	w\o Cond 10	w\o Cond 11	w\o Cond 12	w\o Cond 13	
1	5973	59.116	0.033	14.582	0.670	0.318	0.100	10.799	0.017	0.017	0.033	0.000	4.554	0.084	0.017
2	2026	30.948	11.204	17.275	0.197	0.197	0.000	0.000	0.099	0.148	0.740	0.296	0.049		
3	5973	30.136	0.017	11.535	7.685	4.085	0.151	8.723	0.000	0.033	0.000	0.050	0.134	0.017	1.088
4	5973	22.099	32.597	0.017	0.067	0.000	0.017	0.033	0.033	2.377	0.000	0.033	0.167	0.017	0.017
5	2026	20.484	42.695	4.936											
6	5973	14.197	2.009	0.335	0.000	0.469	0.218	49.473	0.084	0.067	0.167	0.117	0.234	0.100	

# Patt.	Error	w\o Cond 1	w\o Cond 2	w\o Cond 3	w\o Cond 4	w\o Cond 5	w\o Cond 6	w\o Cond 7	w\o Cond 8	w\o Cond 9	w\o Cond 10	w\o Cond 11	w\o Cond 12	w\o Cond 13	
1	2026	4.985	0.099	31.935	0.642	0.296	0.148	14.511	0.049	0.049	0.099	0.049	3.011	0.099	0.049
2	5973	1.691	4.520	34.572	0.084	0.084	0.050	0.033	0.033	0.050	0.201	0.067	0.067		
3	2026	4.985	0.049	3.801	1.481	22.211	0.148	2.369	0.049	0.247	0.049	0.099	0.197	0.049	0.494
4	2026	4.985	13.919	0.049	0.049	0.049	0.049	0.049	0.049	7.897	0.049	0.099	0.197	0.049	0.099
5	5973	1.457	16.943	2.863											
6	2026	4.936	1.037	1.135	0.148	2.320	0.247	35.489	0.543	0.296	0.395	0.197	0.395	0.197	





# Performance of the model

# RuleX

## DT\_1-DT\_11

Output: J\_binario

Prediction: pred(J\_binario)

Display matrix for: Training set

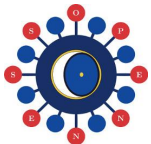
Show percentage

		Forecast		
Output		High	Low	Total
	High	1635 (80.701%)	391 (19.299%)	2026 (25.328%)
	Low	376 (6.295%)	5597 (93.705%)	5973 (74.672%)
Total	2011 (25.141%)	5988 (74.859%)	7999 (100%)	

		Forecast	
Output		High	Low
	High	■	□
	Low	□	■





# Performance of the model

# RuleX

## DT\_1-DT\_11

Output: J\_binario

Prediction: pred(J\_binario)

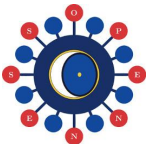
Display matrix for: Test set

Show percentage

		Forecast		
Output			High	Low
	High	315 (61.765%)	195 (38.235%)	510 (25.500%)
	Low	158 (10.604%)	1332 (89.396%)	1490 (74.500%)
Total	473 (23.650%)	1527 (76.350%)	2000 (100%)	

		Forecast		
Output			High	Low
	High	■	■	
	Low	■	■	

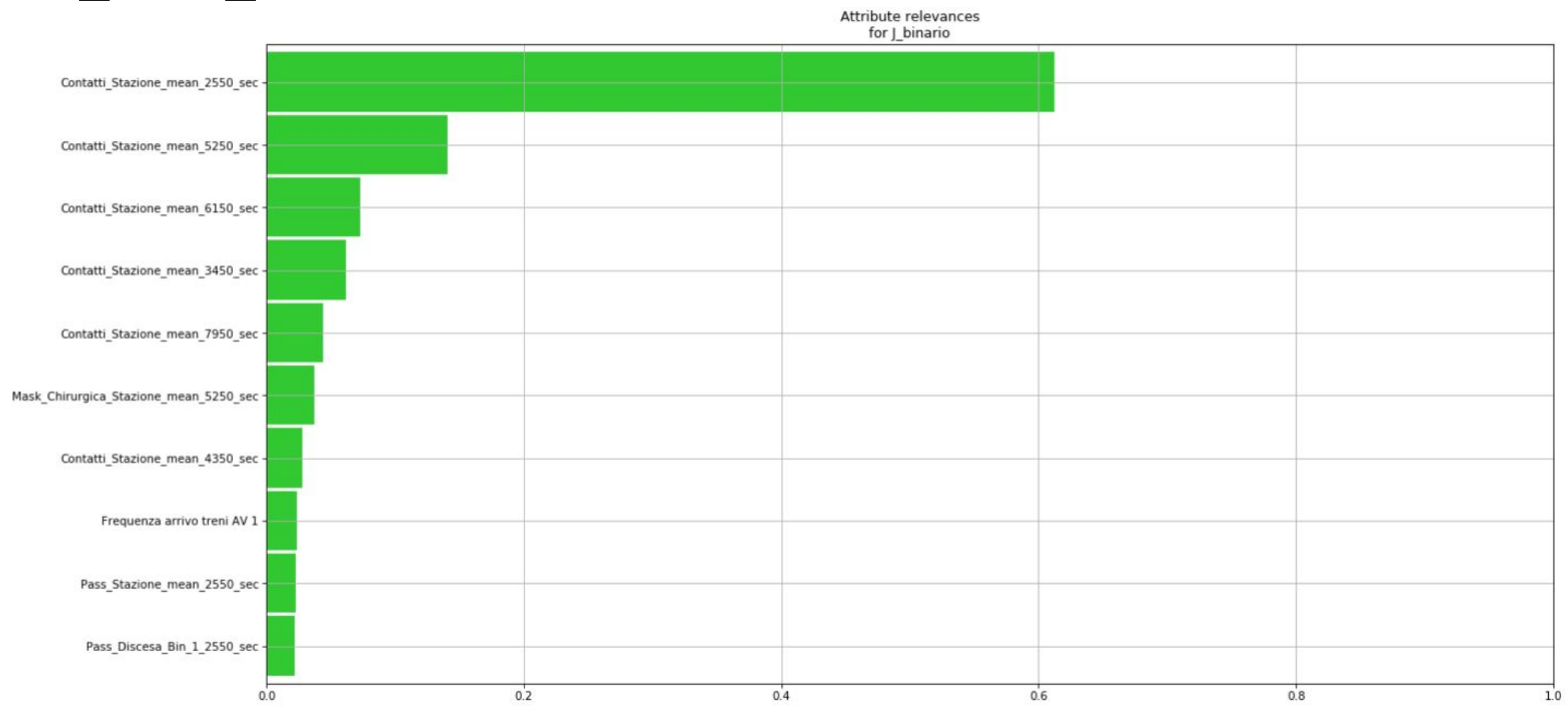


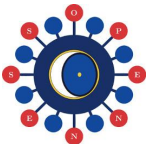


# Performance of the model

RuleX

DT\_1-DT\_11

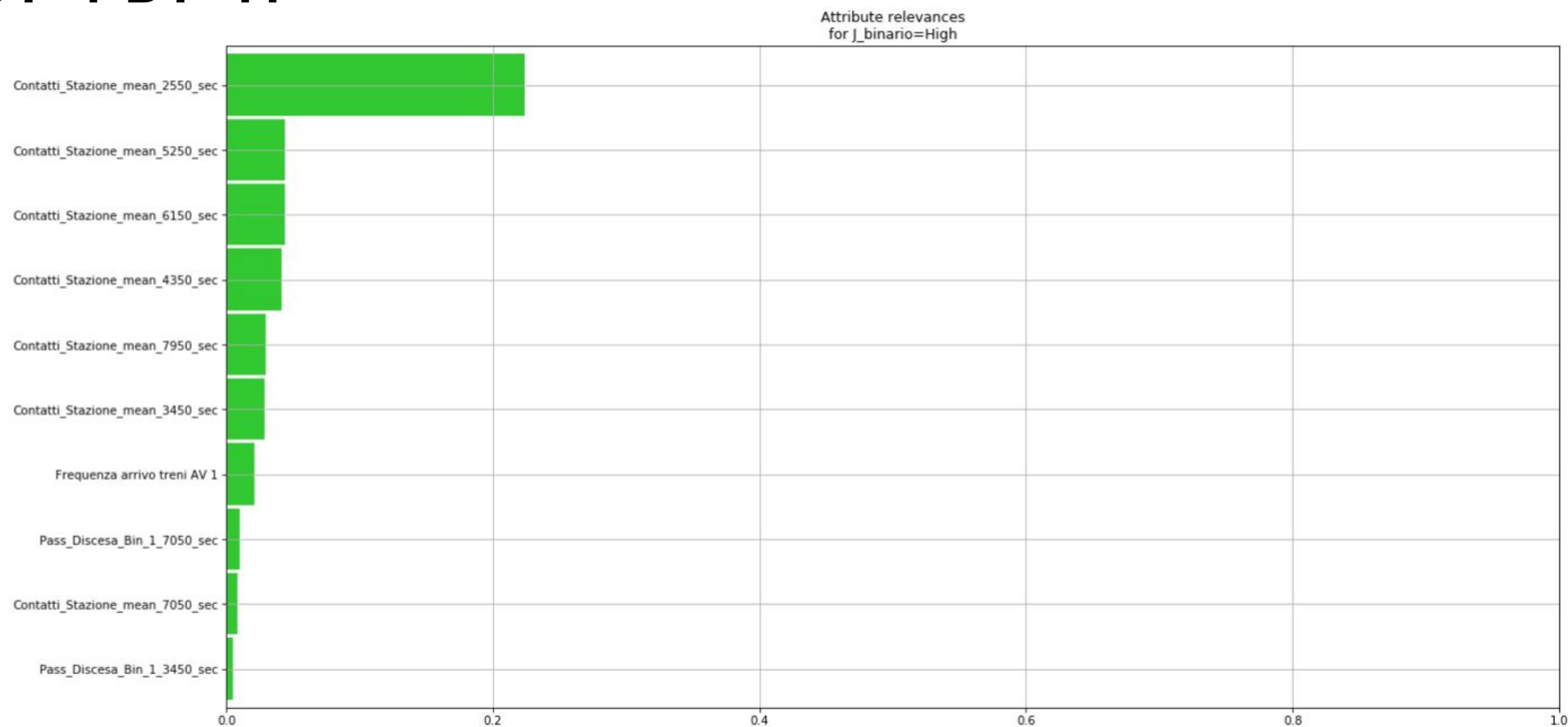


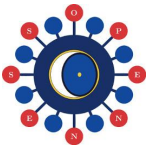


# Performance of the model

# RuleX

## DT 1-DT 11

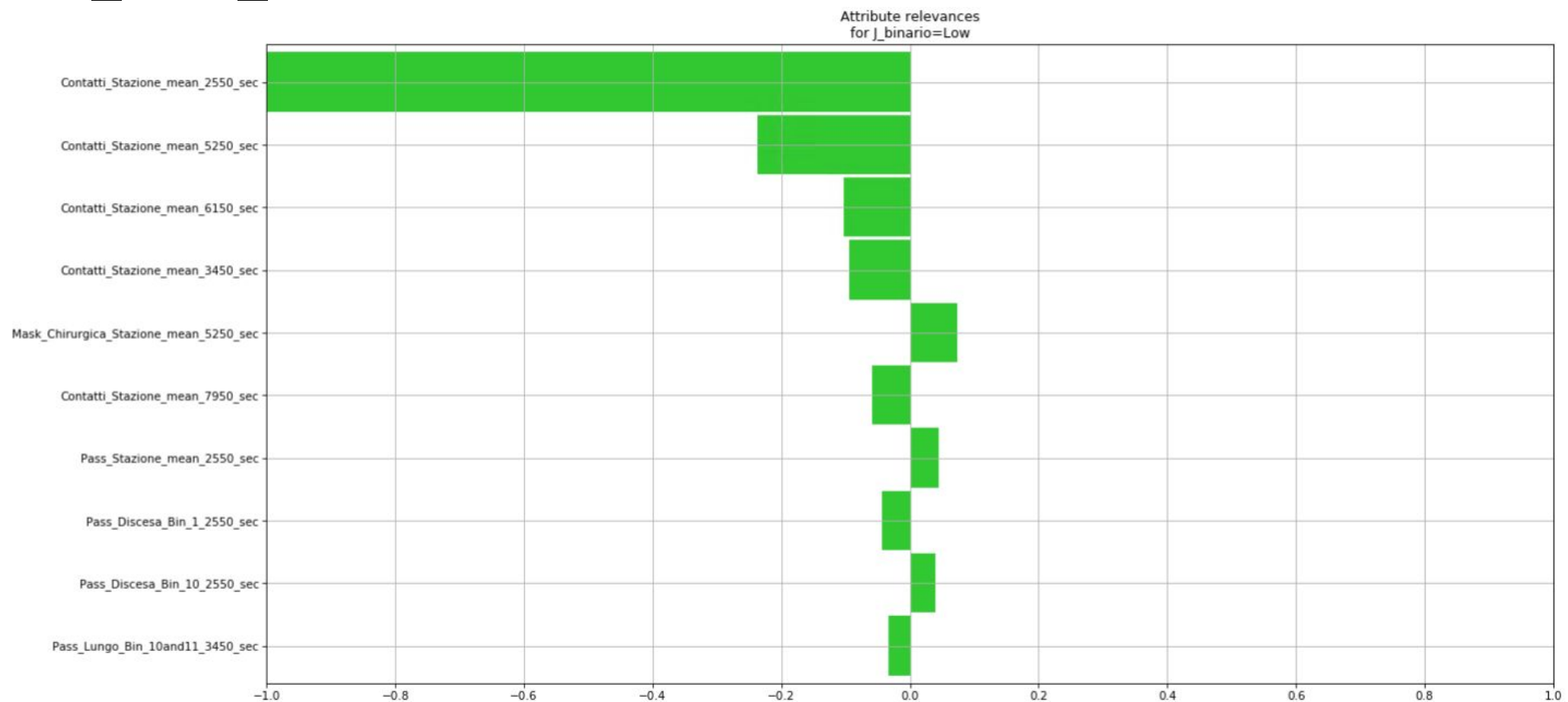


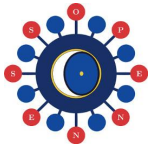


# Performance of the model

RuleX

## DT\_1-DT\_11

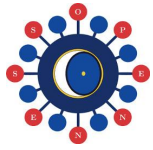




# Challenges to face

- Getting a balanced (Low,High) dataset.
- Tuning the virtual environment to avoid anomalous behaviours.
- Selecting input variables to build a good-performance model.
- Validating the models obtained.





Thanks for your attention.

